

**Résumé saisonnier  
pour l'Arctique canadien  
Été 2006**



**Produit par le Service canadien des glaces  
13 Décembre 2006**

## Table des matières

|                                   |    |
|-----------------------------------|----|
| Baie d’Hudson et ses abords ..... | 4  |
| Juin 2006 .....                   | 4  |
| Juillet 2006 .....                | 4  |
| Août 2006 .....                   | 5  |
| Est de l’Arctique .....           | 10 |
| Juin 2006 .....                   | 10 |
| Juillet 2006 .....                | 11 |
| Août 2006 .....                   | 12 |
| Septembre 2006 .....              | 13 |
| Ouest de l’Arctique .....         | 19 |
| Juin 2006 .....                   | 19 |
| Juillet 2006 .....                | 19 |
| Août 2006 .....                   | 20 |
| Septembre 2006 .....              | 21 |

### Liste de tableaux

|   |    |
|---|----|
| Tableau 1: Températures et écart par rapport à la normale (°C) pour la baie d’Hudson .          | 6  |
| Tableau 2: Températures et écart par rapport à la normale (°C) pour l’est de l’Arctique .....   | 14 |
| Tableau 3: Températures et écart par rapport à la normale (°C) pour l’ouest de l’Arctique ..... | 22 |

### Liste de figures

|  |    |
|--|----|
| Figure 1: Tendence de la température pour Churchill du 1 <sup>er</sup> juin au 30 septembre.....                     | 6  |
| Figure 2: Tendence de la température pour Iqaluit du 1 <sup>er</sup> juin au 30 septembre .....                      | 6  |
| Figure 3: Carte régionale pour la Baie d’Hudson – 12 juin .....  | 7  |
| Figure 4: Écart de la concentration des glaces par rapport à la normale pour la baie d’Hudson – 12 juin .....        | 7  |
| Figure 5: Carte régionale pour la baie d’Hudson – 17 juillet.....  | 8  |
| Figure 6: Écart de la concentration des glaces par rapport à la normale pour la baie d’Hudson – 17 juillet.....      | 8  |
| Figure 7: Carte régionale pour la baie d’Hudson – 14 août.....   | 9  |
| Figure 8: Écart de la concentration des glaces par rapport à la normale pour la baie d’Hudson – 14 août.....         | 9  |
| Figure 9: Tendence de la température pour Résolute du 1 <sup>er</sup> juin au 30 septembre.....                      | 14 |
| Figure 10: Tendence de la température pour Hall Beach du 1 <sup>er</sup> juin au 30 septembre .                      | 14 |
| Figure 11: Carte régionale pour l’est de l’Arctique – 14 juin .....  | 15 |
| Figure 12: Écart de la concentration des glaces par rapport à la normale pour l’est de l’Arctique – 14 juin.....     | 15 |
| Figure 13: Carte régionale pour l’est de l’Arctique – 17 juillet .....   | 16 |
| Figure 14: Écart de la concentration des glaces par rapport à la normale pour l’est de l’Arctique – 17 juillet ..... | 16 |
| Figure 15: Carte régionale pour l’est de l’Arctique – 14 août.....   | 17 |
| Figure 16: Écart de la concentration des glaces par rapport à la normale pour l’est de l’Arctique – 15 août .....    | 17 |

|  |    |
|--|----|
| Figure 17: Carte régionale pour l'est de l'Arctique – 18 septembre.....  | 18 |
| Figure 18: Écart de la concentration des glaces par rapport à la normale pour l'est de l'Arctique – 18 septembre .....   | 18 |
| Figure 19: Tendence de la température pour Tuktoyaktuk du 1 <sup>er</sup> juin au 30 septembre                           | 22 |
| Figure 20: Tendence de la température pour Cambridge Bay du 1 <sup>er</sup> juin au 30 septembre .....                   | 22 |
| Figure 21: Carte régionale pour l'ouest de l'Arctique – 14 juin .....  | 23 |
| Figure 22: Écart de la concentration des glaces par rapport à la normale pour l'ouest de l'Arctique – 14 juin.....       | 23 |
| Figure 23: Carte régionale pour l'ouest de l'Arctique – 17 juillet .....   | 24 |
| Figure 24: Écart de la concentration des glaces par rapport à la normale pour l'ouest de l'Arctique – 17 juillet .....   | 24 |
| Figure 25: Carte régionale pour l'ouest de l'Arctique – 14 août.....   | 25 |
| Figure 26: Écart de la concentration des glaces par rapport à la normale pour l'ouest de l'Arctique – 14 août .....      | 25 |
| Figure 27: Carte régionale pour l'ouest de l'Arctique – 18 septembre.....  | 26 |
| Figure 28: Écart de la concentration des glaces par rapport à la normale pour l'ouest de l'Arctique – 18 septembre ..... | 26 |
| Figure 29: Cartes de 1000 mb du 1 <sup>er</sup> au 15 juin et du 16 au 30 juin.....                                      | 27 |
| Figure 30: Cartes de 1000 mb du 1 <sup>er</sup> au 15 juillet et du 16 au 31 juillet.....                                | 28 |
| Figure 31: Cartes de 1000 mb du 1 <sup>er</sup> au 15 août et du 16 au 31 août.....                                      | 29 |
| Figure 32: Cartes de 1000 mb du 1 <sup>er</sup> au 15 septembre et du 16 au 30 septembre .....                           | 30 |

## **Baie d'Hudson et ses abords**

Au cours du mois de mai, les températures moyennes de l'air se situaient au-dessus des normales presque partout. De ce fait, l'évolution de la situation glacielle à la fin du mois de mai avait une avance d'un mois par rapport à la normale. Dans la baie Goose, la glace avait entièrement fondu après la mi-mai.

### **Juin 2006**

Pendant le mois de juin, les températures étaient généralement supérieures aux normales dans la plupart des secteurs, sauf pour le sud-est de la baie d'Hudson et l'île de Southampton où elles étaient à peu près normales, tel qu'illustré au Tableau 1. En général, les vents étaient légers à modérés du sud-ouest le long des côtes du Labrador, tandis que prédominaient des vents d'ouest à nord-ouest légers à modérés dans la baie d'Hudson et le détroit d'Hudson, tel qu'illustré à la Figure 29. La fonte des glaces s'est donc produite à un rythme accéléré dans tous les secteurs.

La fonte des glaces étant déjà amorcée au début du mois, on pouvait observer de vastes zones en eau bergée dans le nord du détroit d'Hudson, mais également d'importantes zones en eau libre le long de l'extrême est et de l'extrême nord de la baie d'Hudson. Ces zones se sont élargies progressivement durant le mois pour se généraliser dans le nord du détroit d'Hudson et de la baie d'Hudson. À la fin du mois, des chenaux en eau libre se sont formés le long du littoral de la baie James et au large de la côte sud-ouest de la baie d'Hudson. Par ailleurs, dans la baie d'Ungava, la majeure partie des glaces avait totalement fondu à l'exception de quelques cordons et de quelques plaques de glace subsistant dans la partie est. La situation glacielle s'était nettement améliorée dans le reste du détroit d'Hudson et de la baie d'Hudson où l'on trouvait principalement de la glace en pack serré à très serré dans le centre de la baie James, le sud-ouest de la baie d'Hudson et le sud du détroit d'Hudson. À la fin du mois, la côte du Labrador était dégagée au sud de Nain, alors qu'au nord de Nain et dans l'entrée de la baie de Frobisher la glace était généralement lâche. De la glace sortait de la baie de Frobisher au cours de la deuxième moitié du mois de juin. À la fin juin, les conditions glacielles avaient deux semaines d'avance par rapport à la normale.

Les conditions glacielles ainsi que l'écart par rapport à la concentration normale des glaces pour la mi-juin sont représentées aux Figure 3 et Figure 4 respectivement.

### **Juillet 2006**

Les températures se sont maintenues au-dessus des normales dans la plupart des secteurs au cours du mois de juillet sauf dans le sud-ouest de la baie d'Hudson où elles étaient proches des normales, tel qu'illustré au Tableau 1. Des vents légers et variables prédominaient dans la plupart des secteurs durant la première quinzaine.

Au cours des deux dernières semaines de juillet, les vents étaient principalement d'ouest légers à modérés dans la baie d'Hudson et l'ouest du détroit d'Hudson, tandis que des vents du sud légers à modérés prédominaient dans l'est du détroit d'Hudson, le sud du détroit de Davis et le long des côtes du Labrador, tel qu'illustré à la Figure 30.

Alors que la fonte des glaces était déjà bien avancée, les glaces longeant les côtes du Labrador se retiraient au nord des îles Button dans la deuxième semaine de juillet. À cette période, la baie d'Ungava et le nord de la baie d'Hudson étaient dégagées à l'exception d'une très petite plaque de glace lâche près de Churchill. La voie de navigation en eau libre vers Churchill s'est formée juste après la mi-juillet. Quelques plaques de glace très lâche subsistaient le long du littoral sud-ouest du détroit d'Hudson, dans l'entrée de la baie de Frobisher et dans le nord de la baie James. Il restait surtout de la glace en pack serré au large de la côte sud-ouest de la baie d'Hudson. Une voie en eau bergée s'est ouverte dans la baie de Frobisher au cours de la dernière semaine de juillet. À la fin du mois, la plupart des glaces avaient fondu dans tous les secteurs, à l'exception d'une petite plaque de glace lâche dans le sud-ouest de la baie d'Hudson. À cette période les glaces s'étaient retirées au nord de la baie de Cumberland.

Les conditions glacielles ainsi que l'écart par rapport à la concentration normale des glaces pour la mi-juillet sont représentées aux Figure 5 et Figure 6 respectivement.

## **Août 2006**

Les températures se sont maintenues au-dessus des normales dans la plupart des secteurs au cours du mois d'août, mais s'approchaient des normales le long des côtes du Labrador, dans l'est du détroit d'Hudson et dans le sud-est de la baie d'Hudson, tel qu'illustré au Tableau 1. Les vents étaient principalement légers et variables sur toutes les régions durant la première moitié du mois d'août, tandis que des vents d'ouest à sud-ouest légers à modérés ont soufflé sur la plupart des régions au cours de la seconde moitié du mois, tel qu'illustré à la Figure 31.

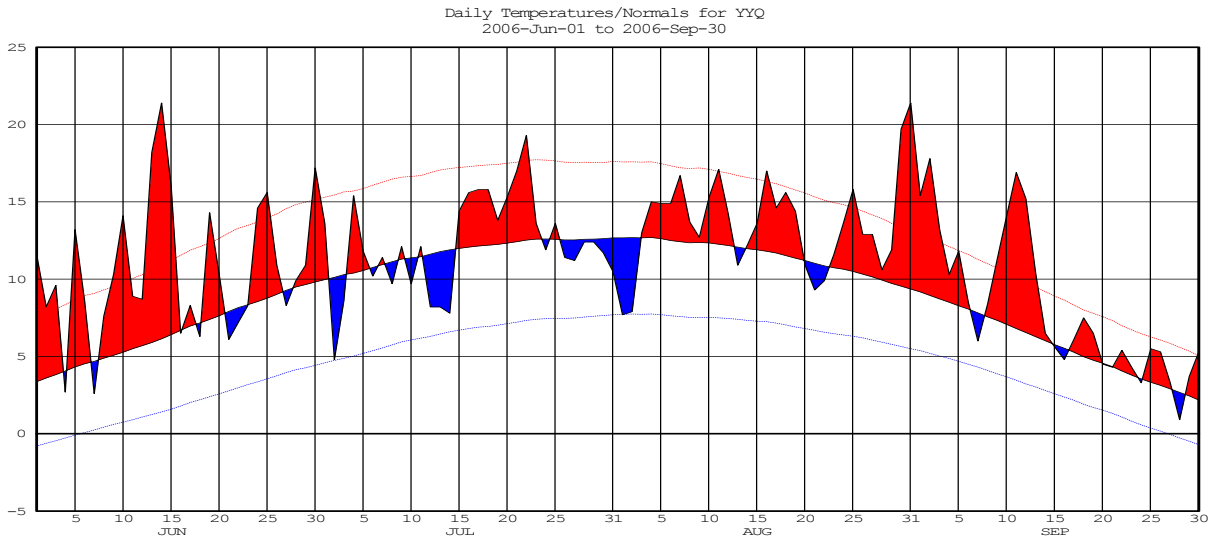
Ce qui restait des glaces dans le sud-ouest de la baie d'Hudson a totalement fondu juste après la mi-août. Les glaces s'étaient retirées au nord du cap Dyer dès la deuxième semaine et le reste du secteur s'est entièrement dégagé pendant le mois.

Les conditions glacielles ainsi que l'écart par rapport à la concentration normale des glaces pour la mi-août sont représentées aux Figure 7 et Figure 8 respectivement.

**Tableau 1: Températures et écart par rapport à la normale (°C) pour la baie d'Hudson**

| Stations     | Juin  |       | Juillet |       | Août  |       | Septembre |       |
|--------------|-------|-------|---------|-------|-------|-------|-----------|-------|
|              | Temp. | Écart | Temp.   | Écart | Temp. | Écart | Temp.     | Écart |
| Nain         | 9.9   | 3.8   | 12.0    | 1.9   | 11.4  | 0.8   | 9.4       | 2.7   |
| Iqaluit      | 4.5   | 1.0   | 9.4     | 1.9   | 8.4   | 1.6   | 3.9       | 1.7   |
| Kuujuuaq     | 8.6   | 1.6   | 13.2    | 1.9   | 10.8  | 0.3   | 6.7       | 1.1   |
| Cape Dorset  | 3.0   | 0.7   | 8.1     | 1.0   | 8.8   | 3.0   | 3.2       | 1.8   |
| Churchill    | 10.5  | 3.9   | 12.2    | 0.4   | 13.6  | 2.1   | 8.1       | 2.4   |
| Moosonee     | 12.9  | 0.5   | 16.3    | 0.6   | 14.4  | -0.5  | 10.2      | -0.3  |
| Kuujuuarapik | 7.0   | 0.1   | 12.1    | 1.5   | 12.2  | 0.9   | 8.5       | 1.2   |

**Figure 1: Tendence de la température pour Churchill du 1<sup>er</sup> juin au 30 septembre**



**Figure 2: Tendence de la température pour Iqaluit du 1<sup>er</sup> juin au 30 septembre**

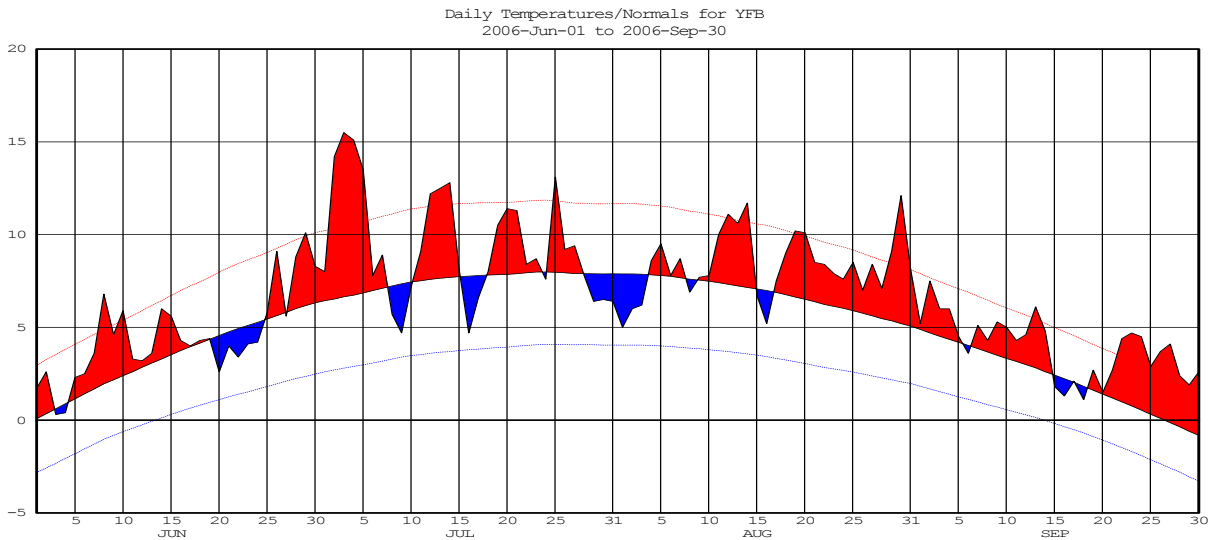


Figure 3: Carte régionale pour la Baie d'Hudson – 12 juin

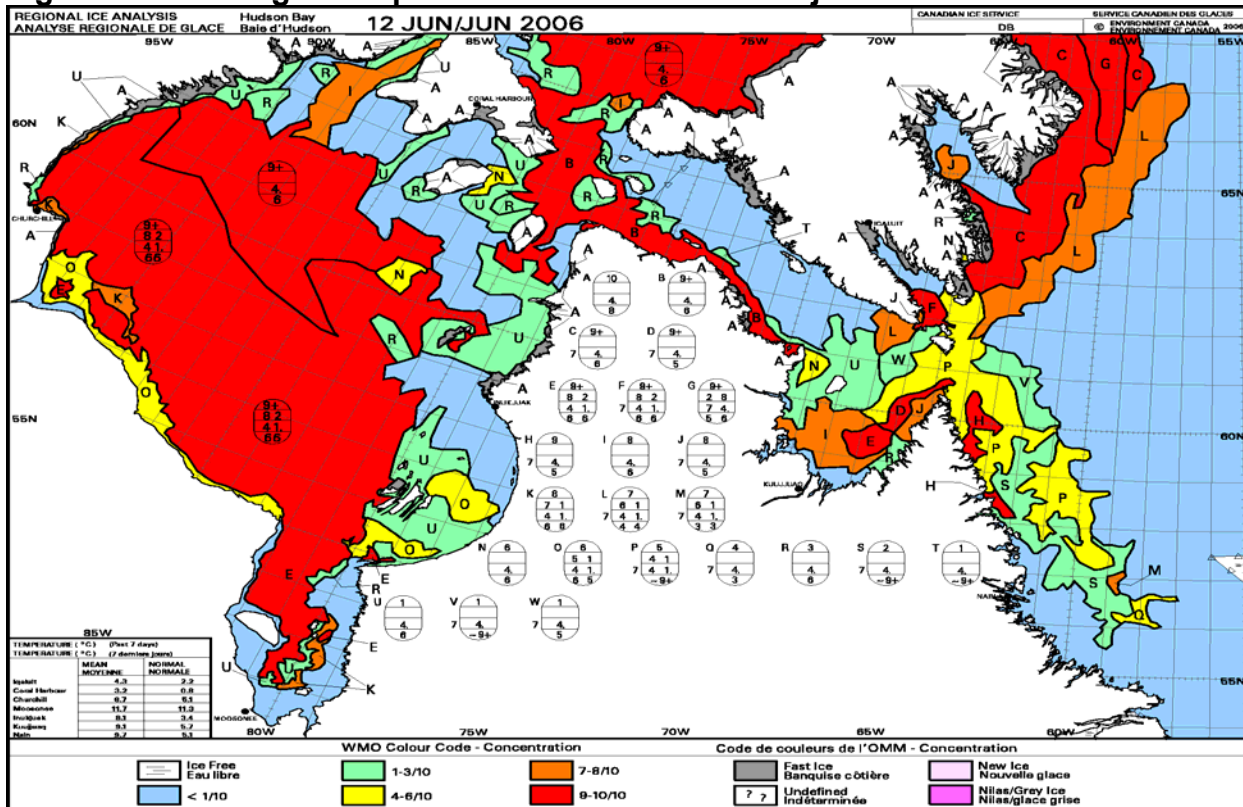


Figure 4: Écart de la concentration des glaces par rapport à la normale pour la baie d'Hudson – 12 juin

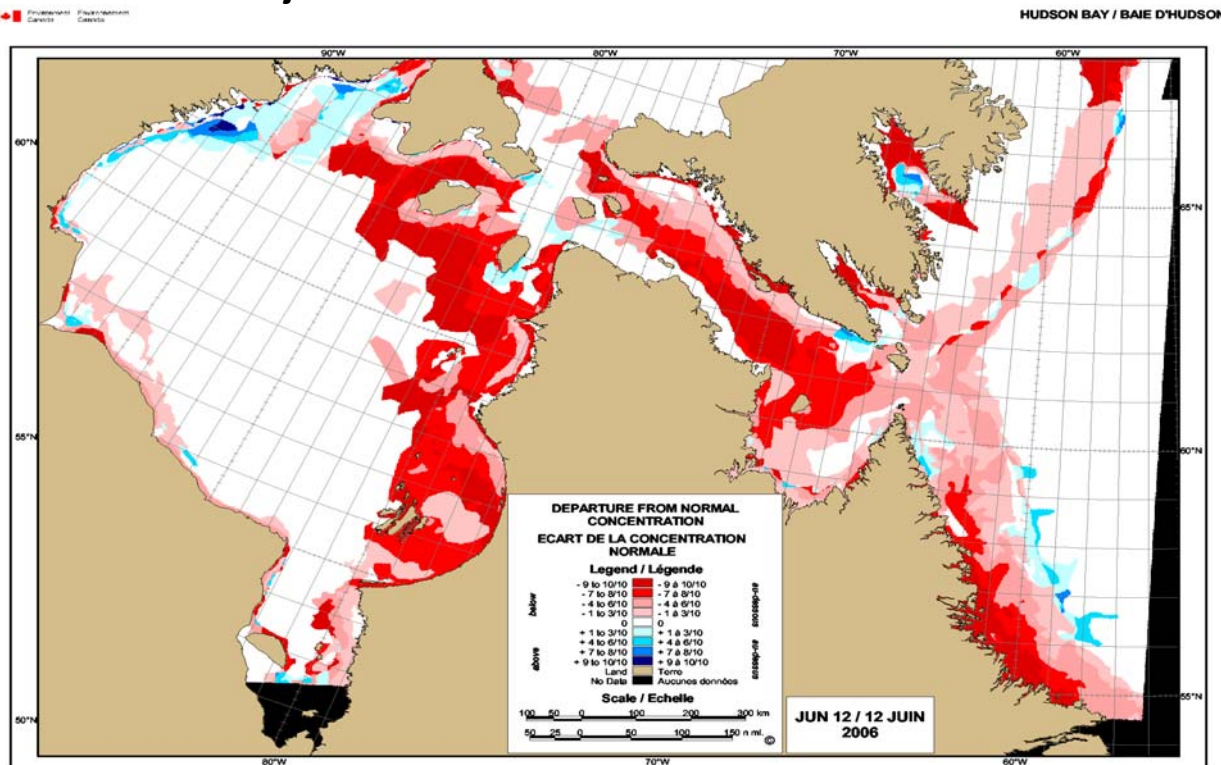


Figure 5: Carte régionale pour la baie d'Hudson – 17 juillet

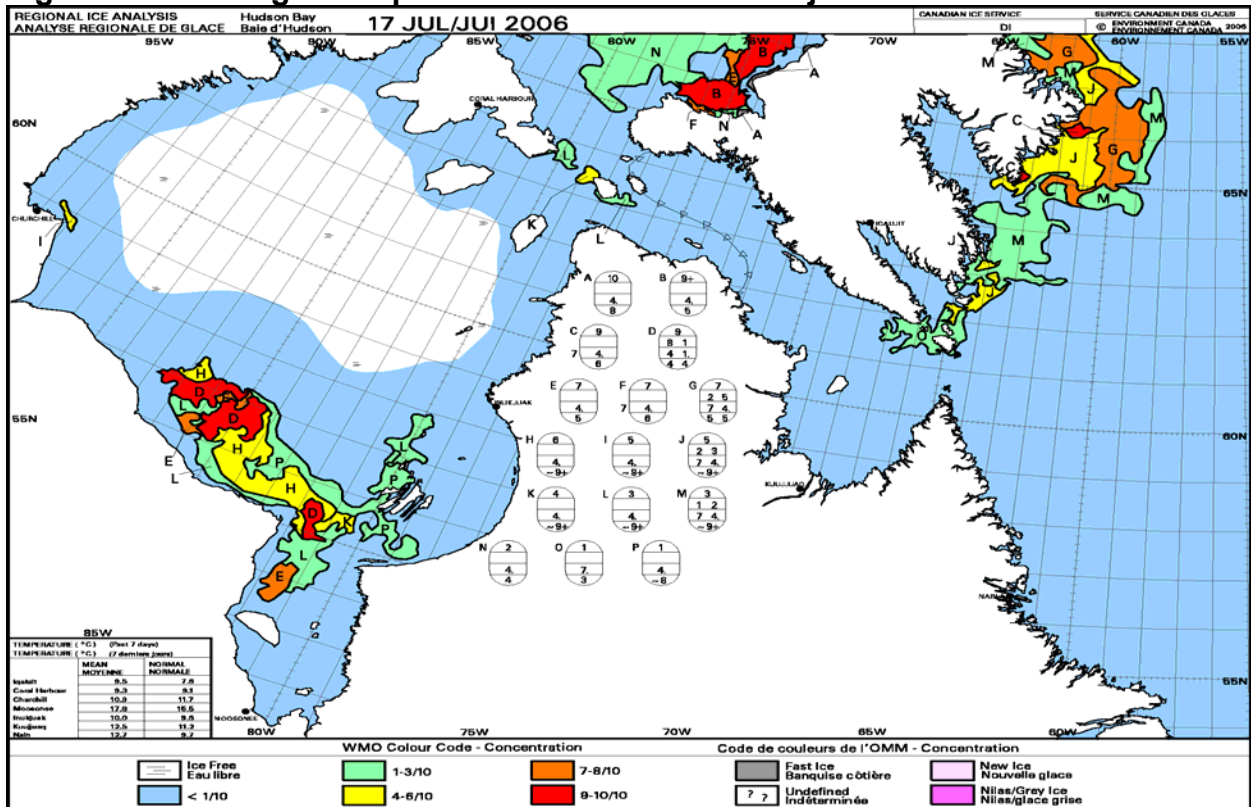


Figure 6: Écart de la concentration des glaces par rapport à la normale pour la baie d'Hudson – 17 juillet

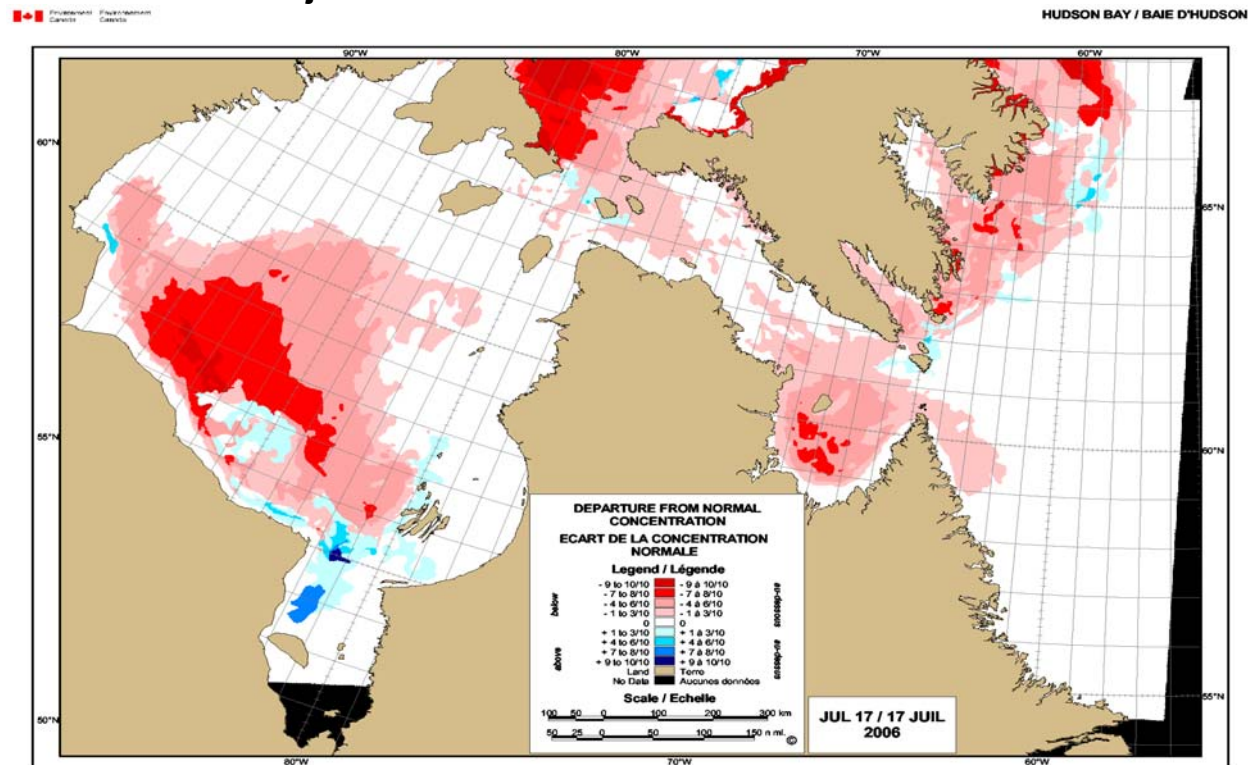




Figure 7: Carte régionale pour la baie d'Hudson – 14 août

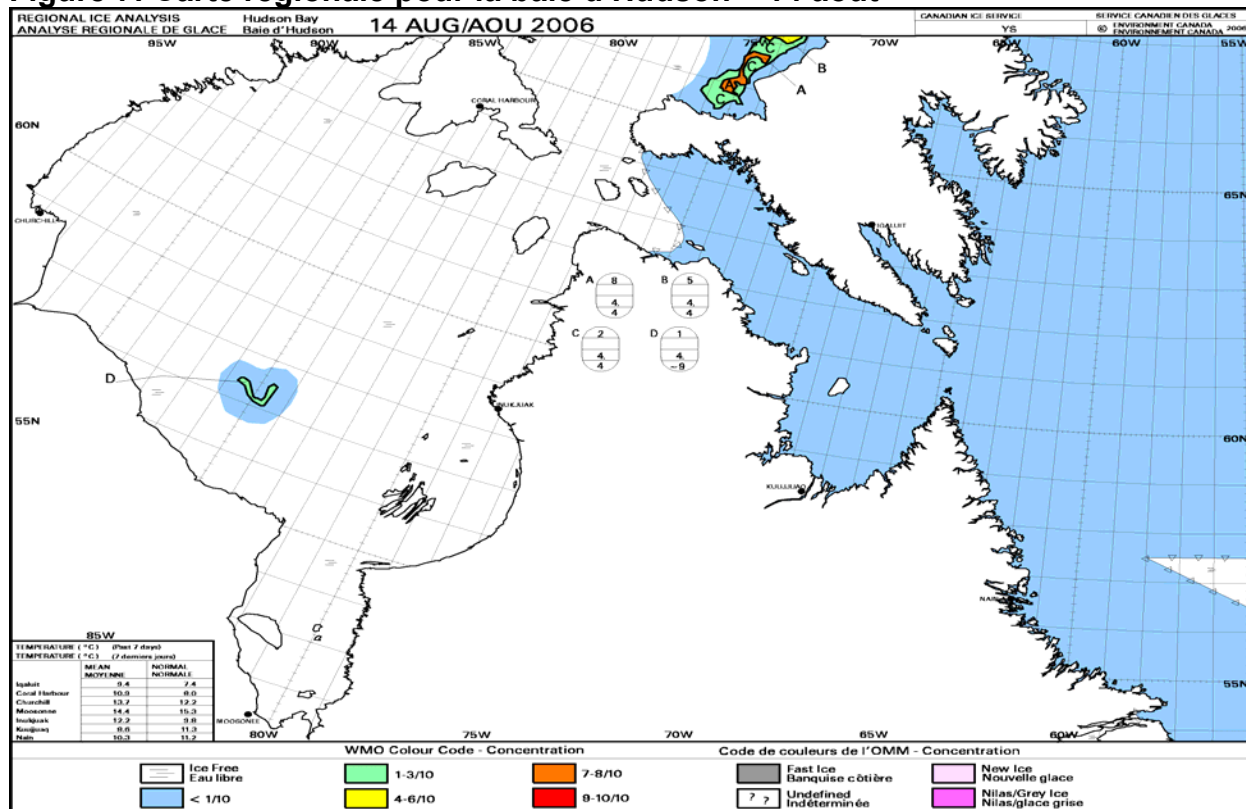
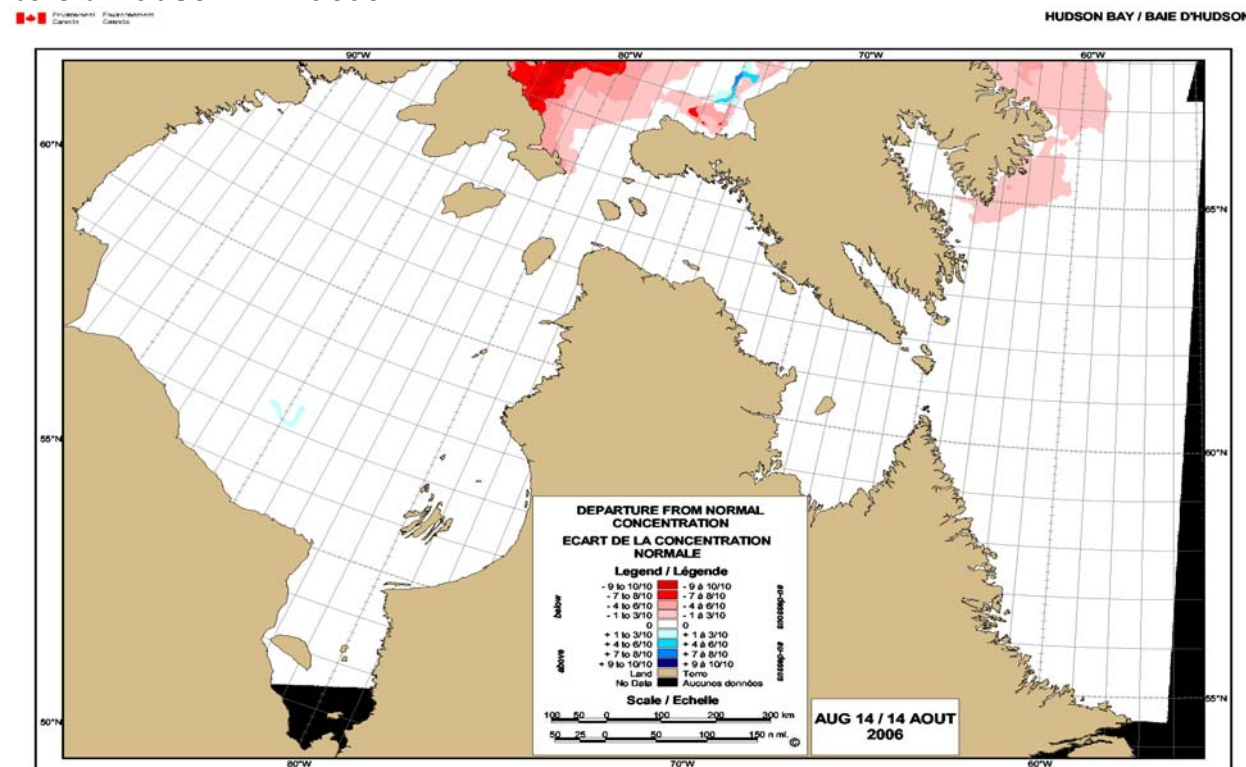


Figure 8: Écart de la concentration des glaces par rapport à la normale pour la baie d'Hudson – 14 août



## Est de l'Arctique

Au cours du mois de mai, les températures moyennes de l'air se situaient au-dessus des normales sur tout le secteur. De ce fait, l'évolution de la situation glacielle à la fin du mois de mai avait une avance de trois à quatre semaines par rapport à la normale. À la fin mai, un large chenal d'eau bergée se trouvait déjà au sud de l'île Disko, tandis que de vastes zones d'eau bergée se sont formées sur l'extrémité nord-ouest de la baie de Baffin et dans la partie ouest du détroit de Lancaster. Un dégageement s'était déjà amorcé sur l'extrémité nord-ouest du bassin Foxe. Autrement, les conditions glacielles étaient près de la normale.

### Juin 2006

Pendant le mois de juin, les températures étaient généralement supérieures aux normales à la plupart des endroits, sauf dans la baie de Baffin et dans l'Extrême-Arctique où elles étaient près de la normale, tel qu'illustré au Tableau 2. Les vents étaient légers à modérés du nord-ouest sur la plupart des endroits, mais légers et variables sur la baie de Baffin et le détroit de Davis, tel qu'illustré à la Figure 29. La fonte des glaces s'est produite à un rythme accéléré pendant la période.

Les zones d'eau bergée ont continué à s'étendre à un rythme accéléré au cours des deux premières semaines de juin. À la mi-juin, une vaste zone d'eau bergée prédominait depuis le sud du bassin Kane jusqu'à l'entrée est du détroit de Lancaster, tandis que la majeure partie des portions nord du détroit de Lancaster et ouest du détroit de Cumberland était libre de glace. Le chenal d'eau bergée longeant la côte ouest du Groenland s'est agrandi vers le nord jusqu'à 75N, ce qui est plus tôt qu'à l'habitude. Une vaste zone d'eau libre est apparue sur la partie nord-ouest du bassin Foxe. La fonte des glaces étant avancée sur l'est de l'Arctique, de la glace lâche de première année prédominait au sud de la baie Melville et dans le sud du bassin Foxe. La fonte des glaces s'est déroulée à un rythme accéléré au cours de la seconde moitié du mois. Une route de banquise lâche ou plus ouverte s'est formée sur la partie nord de la baie de Baffin pendant la troisième semaine de juin. Une route en eau bergée est apparue sur ce même secteur à la fin juin, soit de trois à quatre semaines plus tôt qu'à l'habitude. Une vaste zone d'eau bergée recouvrait alors les parties est et nord-ouest de la baie de Baffin. De la glace lâche de première année persistait sur le sud du bassin Foxe. Au cours du mois de juin, un peu de vieille glace était encastrée dans le pack de glace au large de la rive est de l'île Baffin, au nord du cap Dyer. Autrement, les conditions glacielles étaient presque normales

Les conditions glacielles ainsi que l'écart par rapport à la concentration normale des glaces pour la mi-juin sont représentées aux Figure 11 et Figure 12 respectivement.

## **Juillet 2006**

Pendant le mois de juillet, les températures étaient près des normales presque partout sauf dans la baie de Baffin où elles étaient au dessus des normales, tel qu'illustré au Tableau 2. Des vents du nord-ouest légers à modérés prédominaient presque partout sauf dans la baie de Baffin et le détroit de Davis où ils étaient variables et légers pendant les deux premières semaines de juillet. Les vents étaient du sud-est modérés sur la plupart des secteurs pendant les deux dernières semaines de juillet mais du nord légers à modérés sur le centre de l'Arctique comme l'indique la Figure 30. La fonte des glaces s'est produite à un rythme modéré durant cette période.

La présence d'une grande quantité de vieille glace provenant du bassin Kane, combinée à une fonte modérée de la glace, a résulté en une fracture de la glace consolidée au début juillet, soit 3 semaines plus tôt que la normale. La voie d'eau bergée dans le nord de la baie de Baffin jusqu'à Thule était déjà établie au début du mois. La zone d'eau bergée dans l'est et le nord de la baie de Baffin s'est étendue à un rythme modéré pendant les deux premières semaines de juillet. À la mi-juillet, on notait la présence d'une petite zone de glace lâche de première année avec un peu de vieille glace dans le centre de la baie de Baffin, alors qu'un pack serré de glace de première année avec un peu de vieille glace prévalait le long de la partie est de l'île Baffin au nord du détroit de Cumberland. À ce moment-là, la banquise côtière s'est fracturée dans le bassin Jones, dans l'est du détroit de Barrow et dans le chenal Wellington, soit de 7 à 10 jours plus tôt que la normale. De la glace de première année très lâche était déjà présente le long de la rive ouest et dans la partie sud du bassin Foxe. On notait surtout de l'eau bergée dans la baie Pelly.

Pendant la deuxième moitié de juillet, la glace consolidée s'est fracturée le long du littoral est de l'île Baffin, dans l'inlet de l'Amirauté et le long de la voie de navigation allant de la baie Norvégienne à Eureka. Durant cette période, des plaques de pack serré de glace de première année avec un peu de vieille glace provenant du chenal Wellington ont dérivé vers le sud jusque dans l'est du détroit de Barrow et le long de la rive nord de l'île Somerset. À la fin juillet, la majeure partie de la glace avait complètement fondu dans le centre de la baie de Baffin, dans le nord de l'inlet de l'Amirauté et au sud du détroit de Cumberland. Des plaques de glace lâche de première année avec un peu de vieille glace persistaient le long du littoral de l'île de Baffin au nord du détroit de Cumberland mais on notait des morceaux brisés de banquise côtière au nord de Clyde. Le sud du bassin de Foxe était presque entièrement libre de glace à la fin du mois; seules restaient des zones de pack serré de glace de première année au large de la rive est et une bande de glace très lâche de première année le long de la rive ouest. Il y avait surtout de la glace lâche de première année sur le reste du bassin Foxe et dans le détroit d'Eureka. Le golfe de Boothia était recouvert de pack très serré de glace de première année avec un peu de vieille glace. On notait surtout de la glace de première année et de la vieille glace très lâche dans la baie de Pelly, dans l'ouest du détroit de Barrow et dans le détroit de Jones.

Les conditions glacielles et l'écart par rapport à la carte des concentrations normales à la mi-juillet sont représentées aux Figure 13 et Figure 14 respectivement.

## **Août 2006**

Pendant le mois d'août, les températures étaient supérieures aux normales presque partout sauf dans l'Extrême-Arctique où elles étaient près des normales, tel qu'illustré au Tableau 2. Les vents étaient surtout légers et variables dans l'ensemble des secteurs pendant la première moitié. Des vents du sud-est légers à modérés ont prédominé dans la baie de Baffin et le détroit de Davis alors que des vents du nord légers à modérés ont soufflé sur le reste de l'est de l'Arctique, tel qu'illustré à la Figure 31. La fonte des glaces a été modérée à rapide pendant cette période.

La majeure partie de la glace a fondu sur l'inlet Pond et le nord de l'inlet de l'Amirauté au début août. Le reste de la glace sur l'est de l'Arctique a rapidement fondu pendant les deux premières semaines d'août. Les plaques de vieille glace dans le détroit de Davis ont complètement fondu durant la deuxième semaine d'août, ce qui est un mois plus tôt que la normale. À la mi-août, la baie de Baffin était exempte de glace sauf près de Clyde où se trouvait une plaque de glace lâche de première année avec un peu de vieille glace. Il y avait aussi de l'eau bergée dans l'inlet Prince Régent et dans le bassin de Jones. De larges plaques de glace très lâche de première année ont persisté dans le nord et l'est du bassin de Foxe et dans le détroit d'Eureka. La baie Norvégienne et le golfe de Boothia étaient encore recouvertes de pack serré de glace de première année avec un peu de vieille glace. Une zone de pack très serré de vieille glace s'est compactée jusque dans l'entrée ouest du détroit de Fury et Hecla. La majeure partie de la glace dans le chenal de Wellington a dérivé jusque dans le détroit de Barrow causant des plaques de glace lâche de première année avec un peu de vieille glace. Des zones de pack serré de vieille glace ont dérivé vers le sud jusque dans l'entrée nord-est du détroit de Jones.

La glace a continué de fondre de façon modérée à rapide durant la deuxième moitié d'août. Le reste de la glace dans la baie de Baffin et dans le détroit de Barrow a fondu tard dans la troisième semaine d'août, soit de 10 à 14 jours plus tôt que la normale. À la fin du mois, le bassin de Foxe était exempt de glace sauf le long du littoral sud-est où l'on notait d'étroites plaques de glace de première année. Les concentrations de glace ont diminué rapidement dans la baie Norvégienne et dans le golfe de Boothia où de la glace lâche de première année avec un peu de vieille glace prévalait à la fin du mois. Des plaques de glace lâche de vieille glace dérivèrent jusque dans le détroit de Fury et Hecla durant les deux dernières semaines d'août. Une zone de glace très lâche était présente dans l'entrée est du détroit de Jones. Une partie de la glace de première année et de la vieille glace provenant du détroit de Nansen a dérivé vers le sud pour recouvrir presque tout le détroit d'Eureka empêchant le dégagement de cette zone.

Les conditions glacielles et l'écart par rapport à la carte des concentrations normales de glace à la mi-août sont représentées aux Figure 15 et Figure 16 respectivement.

## **Septembre 2006**

Durant le mois de septembre, les températures étaient surtout au-dessus des normales presque partout, tel qu'illustré au Tableau 2. Les vents étaient surtout du nord légers à modérés sur l'est de l'Arctique sauf dans la baie de Baffin et le détroit de Davis où ils étaient légers et variables durant la première moitié de septembre, tel qu'illustré à la Figure 32. L'englacement sur l'Extrême-Arctique a été retardé de deux semaines.

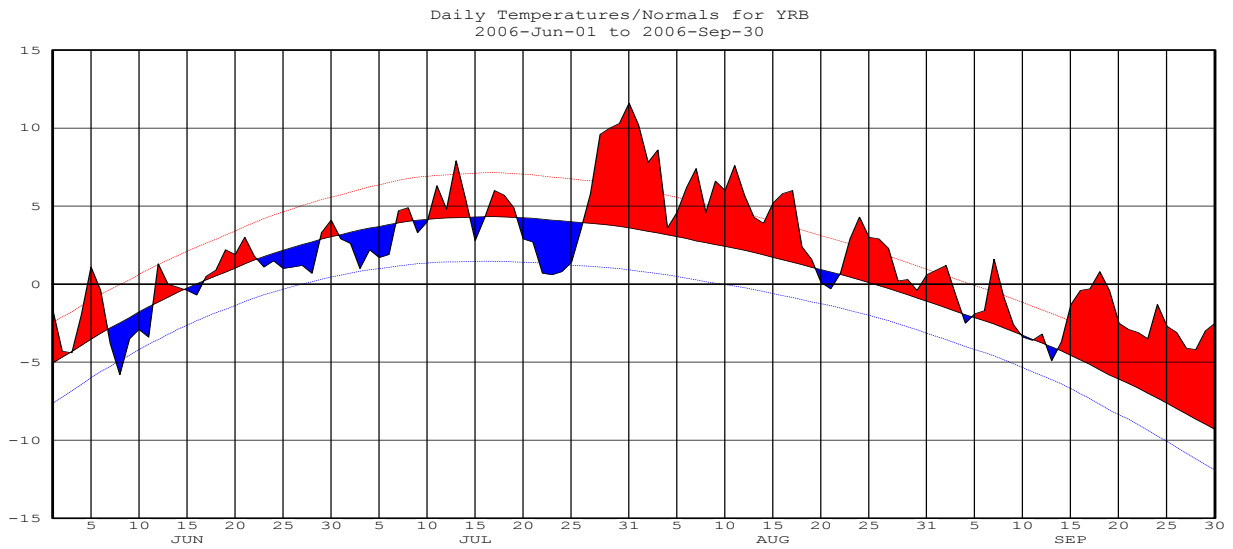
L'eau bergée était encore prédominante dans la baie de Baffin, dans le détroit de Davis et presque tout le détroit de Lancaster, alors que le bassin de Foxe et l'est du détroit de Barrow étaient libre de glace. Un écoulement continu de vieille glace provenant du bassin Kane a maintenu une zone de glace très lâche à lâche dans l'entrée des détroits de Jones et de Lancaster. La glace dans le golfe de Boothia a presque complètement fondu durant cette période sauf dans l'entrée nord de la baie Pelly où persistait une petite zone de vieille glace lâche. La vieille glace qui a dérivé dans le détroit de Penny a continué de se diriger vers le littoral nord de LCI maintenant une zone de pack serré de vieille glace durant la période. Une partie de cette vieille glace a dérivé dans le détroit de Crozier maintenant une zone de vieille glace très lâche dans la partie ouest du détroit de Barrow. De la nouvelle glace a commencé à se former sur l'Extrême-Arctique à la fin septembre, ce qui est deux semaines plus tard que la normale.

Les conditions glacielles et l'écart par rapport à la carte des concentrations normales de glace à la mi-septembre sont représentées aux Figure 17 et Figure 18 respectivement.

**Tableau 2: Températures et écart par rapport à la normale (°C) pour l'est de l'Arctique**

| Stations   | Juin  |       | Juillet |       | Août  |       | Septembre |       |
|------------|-------|-------|---------|-------|-------|-------|-----------|-------|
|            | Temp. | Écart | Temp.   | Écart | Temp. | Écart | Temp.     | Écart |
| Eureka     | 2.1   | 0.4   | 6.4     | 0.9   | 3.3   | 0.9   | -4.2      | 3.7   |
| Resolute   | -0.2  | 0.2   | 4.4     | 0.4   | 4.0   | 2.6   | -2.0      | 3.0   |
| Pond Inlet | 2.8   | 1.2   | 7.1     | 1.3   | 7.4   | 3.4   | 0.5       | 2.3   |
| Clyde      | 0.7   | 0.2   | 5.5     | 1.3   | 5.4   | 1.6   | 1.9       | 2.2   |
| Hall Beach | 1.7   | 1.1   | 6.2     | 0.4   | 7.5   | 3.0   | 2.0       | 2.5   |
| Pelly Bay  | 5.0   | 2.1   | 9.0     | 0.3   | 9.3   | 2.9   | 1.9       | 1.8   |

**Figure 9: Tendence de la température pour Résolute du 1<sup>er</sup> juin au 30 septembre**



**Figure 10: Tendence de la température pour Hall Beach du 1<sup>er</sup> juin au 30 septembre**

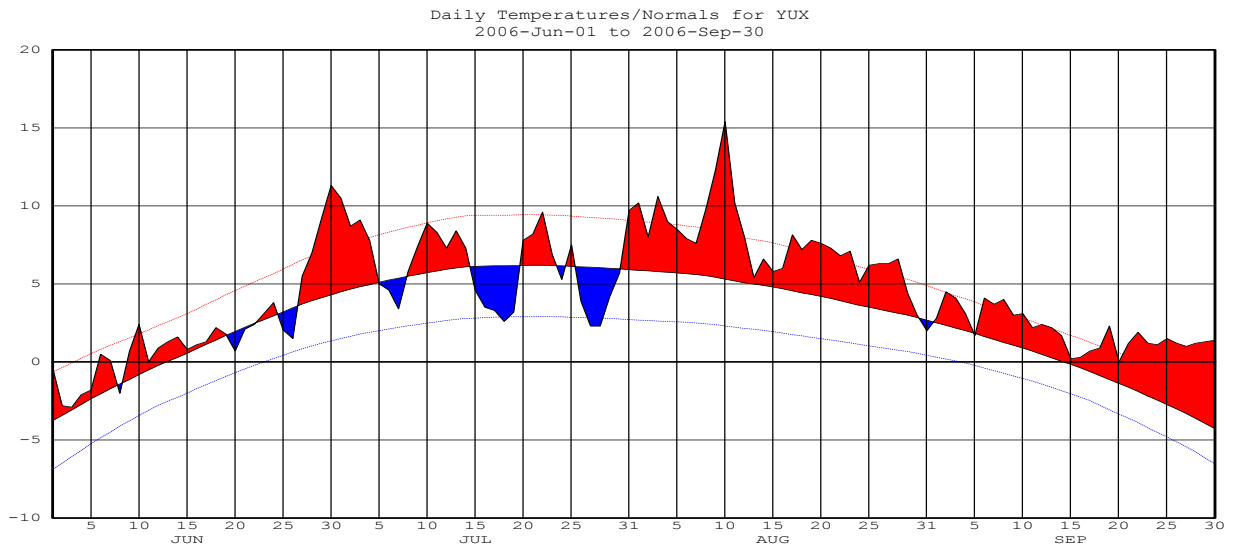


Figure 11: Carte régionale pour l'est de l'Arctique – 14 juin

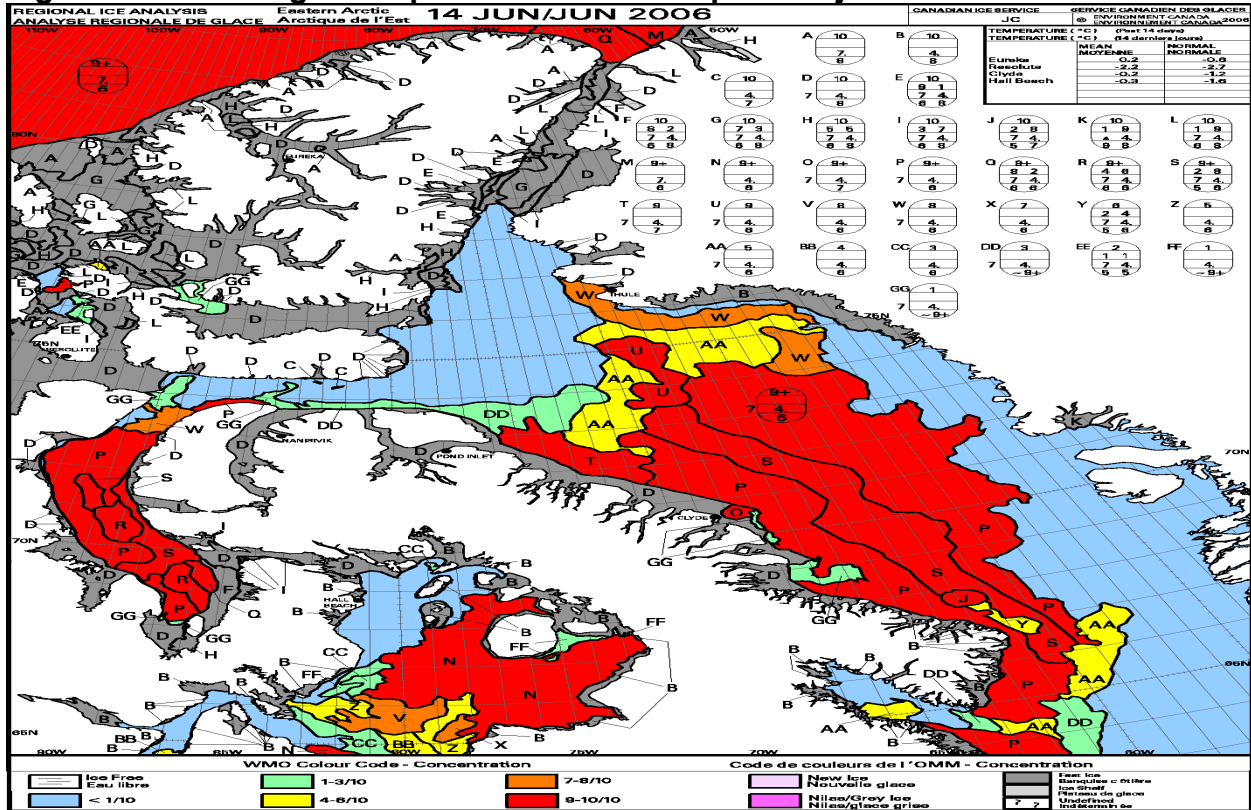


Figure 12: Écart de la concentration des glaces par rapport à la normale pour l'est de l'Arctique – 14 juin

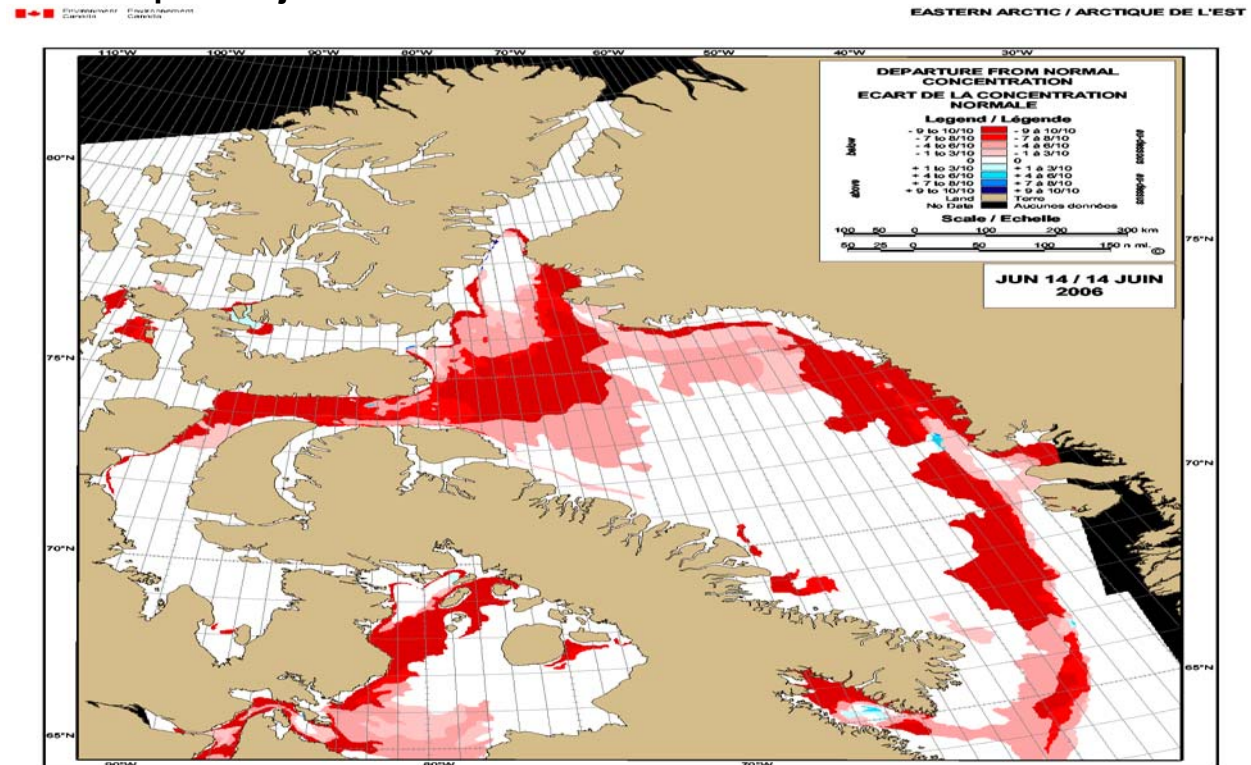


Figure 13: Carte régionale pour l'est de l'Arctique – 17 juillet

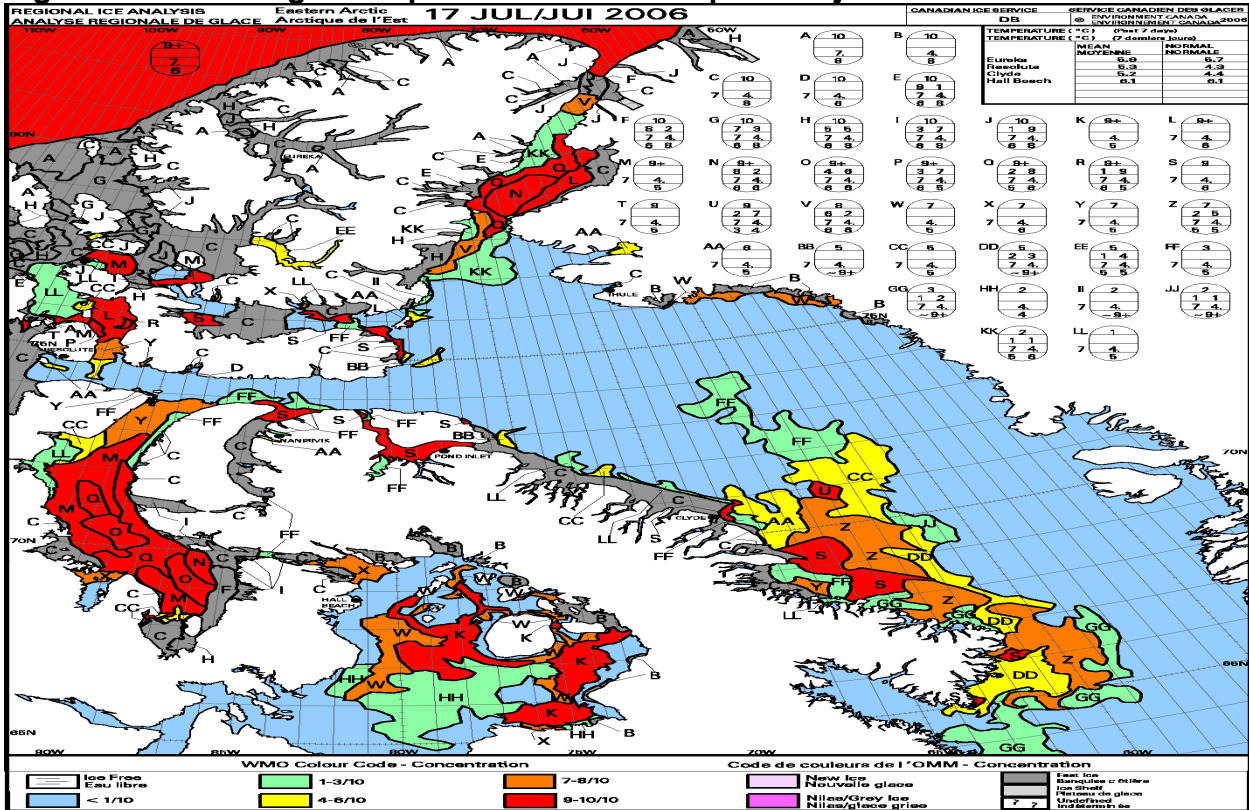


Figure 14: Écart de la concentration des glaces par rapport à la normale pour l'est de l'Arctique – 17 juillet

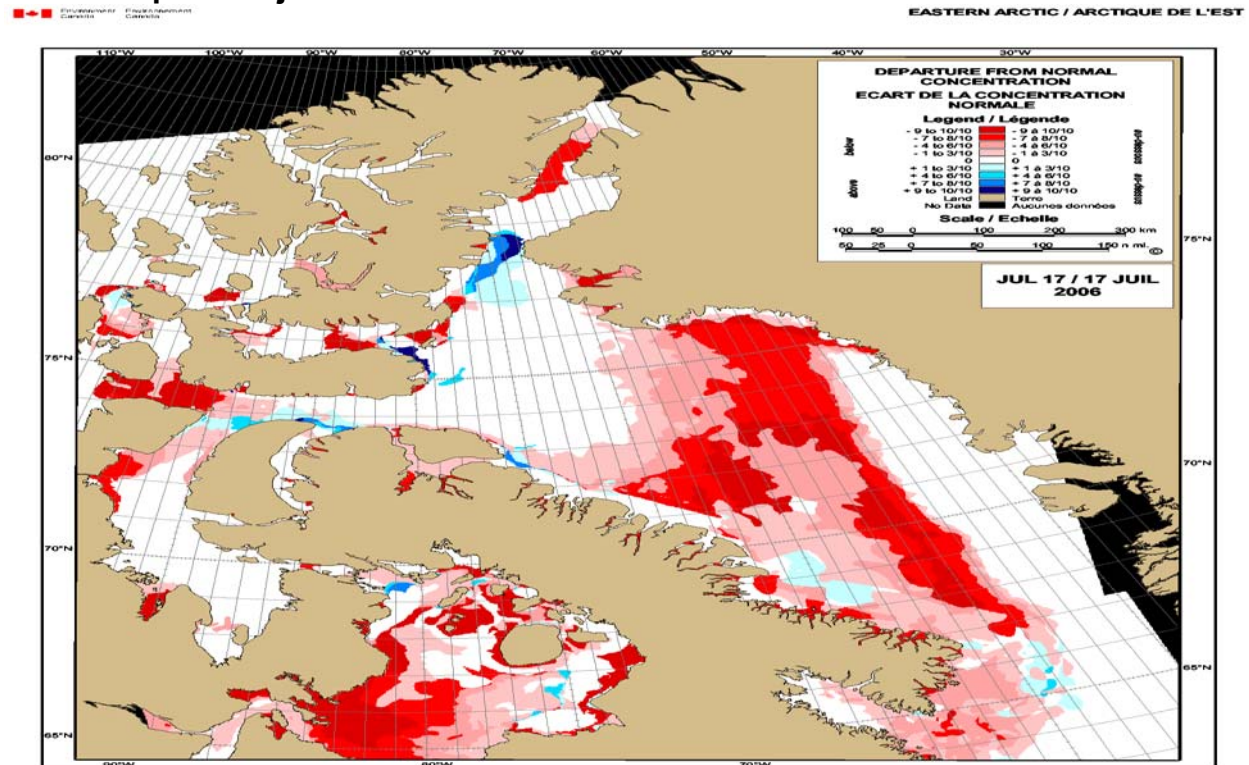






Figure 17: Carte régionale pour l'est de l'Arctique – 18 septembre

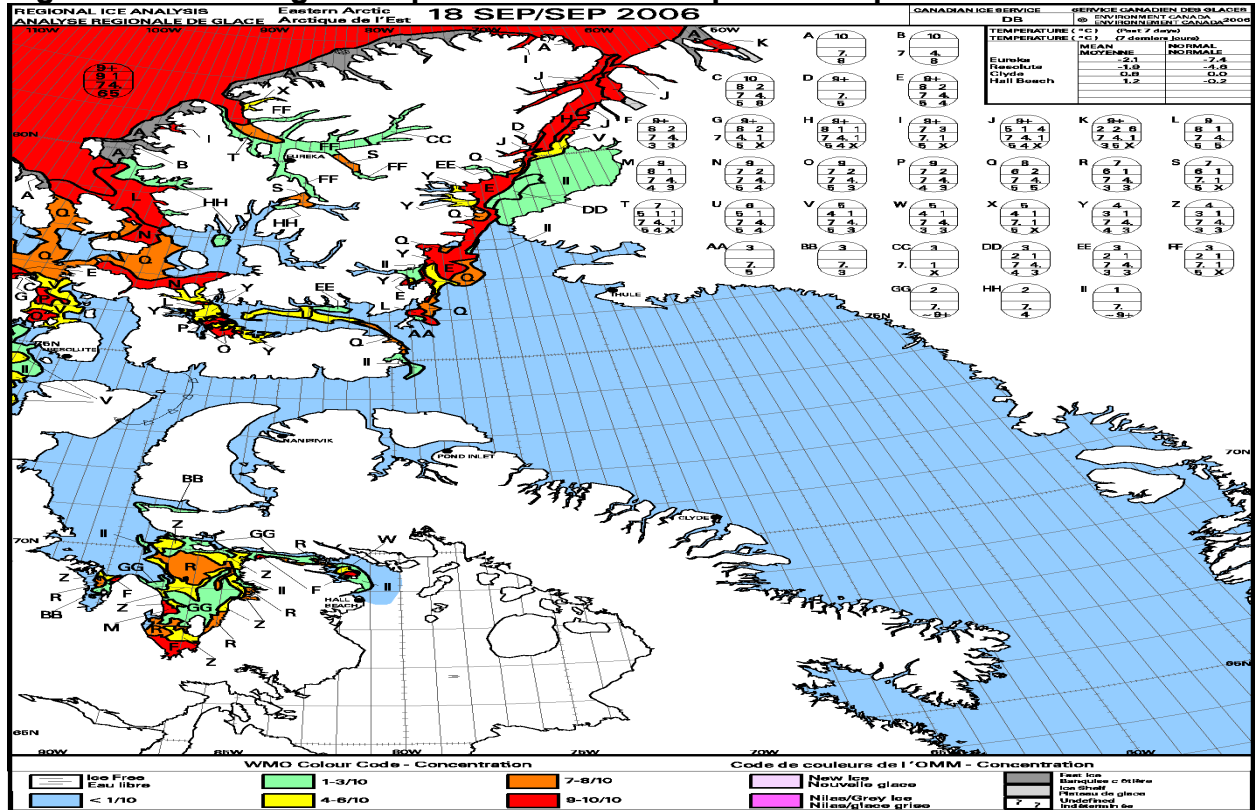
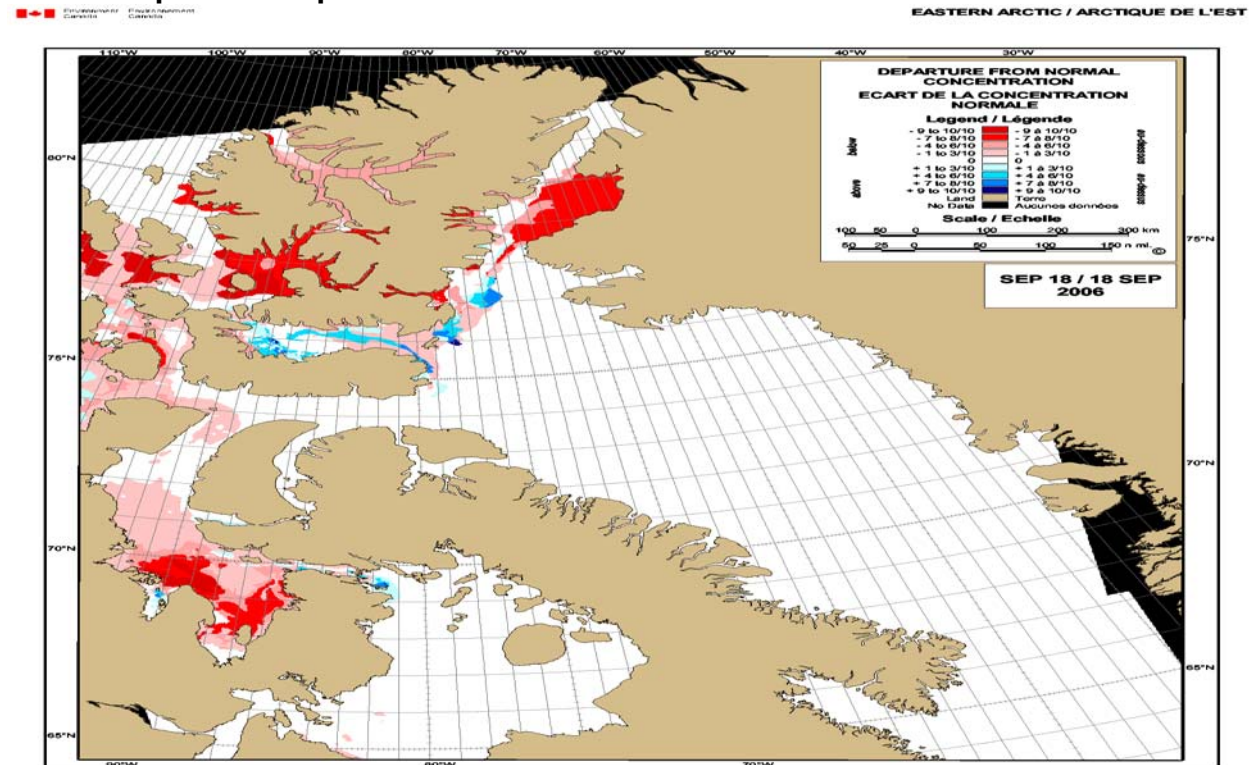


Figure 18: Écart de la concentration des glaces par rapport à la normale pour l'est de l'Arctique – 18 septembre



## Ouest de l'Arctique

Les températures moyennes de l'air étaient supérieures à la normale sur tout le secteur durant le mois de mai. À la fin mai, les conditions glacielles étaient en avance de deux semaines sur la normale à partir du golfe d'Amundsen et vers l'est, mais près de la normale dans le reste de l'ouest de l'Arctique. Toutefois, le pack de vieille glace s'étendait plus au sud que la normale sur la mer de Beaufort, alors que les concentrations de vieille glace se révélaient beaucoup plus grandes que la normale sur le golfe Reine-Maud et le détroit de Bering. La glace était déjà en mouvement dans le golfe d'Amundsen au début du printemps.

### Juin 2006

Les températures ont été supérieures à la normale presque partout durant le mois de juin, mais elles se situaient près de la normale le long de la côte de l'Alaska comme le montre le Tableau 3. Des vents légers à modérés du nord-ouest ont soufflé sur le centre de l'Arctique, mais ils étaient légers et variables sur la mer de Beaufort et le long de la côte de l'Alaska comme le montre la Figure 29. La glace a fondu rapidement sur certaines parties du centre de l'Arctique au cours du mois. En raison de la grande quantité de vieille glace sur la mer de Beaufort et le long de la côte de l'Alaska, la glace a fondu à un rythme presque normale.

La glace a commencé à fondre rapidement sur le côté est du golfe d'Amundsen avec de la glace lâche de première année. Des zones d'eau libre se sont formées sur la baie Mackenzie après la mi-juin et une semaine plus tard sur la baie Kugmallit, ce qui est près de la normale. À la fin du mois, la banquise côtière s'est fracturée sur le détroit de Dolphin et Union et sur l'ouest du golfe Coronation. La glace dans le reste du passage du Nord-ouest est demeurée consolidée au cours de la période. La fracture complète de la glace le long de la péninsule de Tuktoyaktuk s'est produite à la fin juin. La mer de Beaufort et la côte de l'Alaska étaient couvertes principalement de glace de première année. La vieille glace s'étendait un peu plus au sud que la normale tout au long du mois. Le pack de vieille glace se trouvait près de la pointe Barrow et il y avait une grande quantité de vieille glace dans le détroit de Bering.

Les conditions glacielles et l'écart par rapport à la carte des concentrations normales de glace à la mi-juin sont représentées aux Figure 21 et Figure 22 respectivement.

### Juillet 2006

Les températures ont été près de la normale presque partout durant le mois de juillet, mais elles étaient supérieures à la normale sur le golfe Coronation comme le montre le Tableau 3. Des vents légers à modérés du nord-ouest ont persisté sur le centre de l'Arctique durant le mois. Des vents légers à modérés d'est ont dominé sur la mer de Beaufort et le long de la côte de l'Alaska au cours de la première moitié de juillet. Des vents modérés du sud se sont levés sur ces secteurs au cours de la deuxième moitié de juillet comme le montre la Figure 30. La glace a fondu à un rythme modéré sur le centre de l'Arctique. En raison de la grande quantité de vieille glace sur la mer de Beaufort et le long de la côte de l'Alaska, la glace a fondu lentement en juillet.

La banquise côtière s'est fracturée sur l'est du golfe Coronation et sur le détroit de Dease au cours de la première semaine de juillet et sur le golfe Reine-Maud et le détroit de Larsen vers la mi-juillet. Ces événements sont survenus deux semaines plus tôt que la normale. En raison de la fonte modérée des glaces, on trouvait de vastes zones d'eau libre dans le golfe Coronation, le détroit de Dolphin et Union et dans l'est du golfe Amundsen vers la mi-juillet. À ce moment, un pack très serré de vieille glace et de glace de première année dominait sur presque tout le golfe Reine-Maud et le détroit de Larsen. Sur presque tout le détroit de Peel on trouvait de la glace consolidée de première année. Les concentrations de glace ont beaucoup diminué sur l'ouest du golfe d'Amundsen car de la glace lâche de première année avec un peu de vieille glace couvrait le secteur. Une très étroite zone d'eau libre s'est formée de la baie Mackenzie au cap Bathurst, mais elle n'était pas assez large pour permettre la navigation. Il s'est formé des chenaux d'eau libre le long de la côte de l'Alaska. Les conditions glacielles ailleurs sur la mer de Beaufort et le long de la côte de l'Alaska ont très peu changé. Le pack de vieille glace se trouvait plus au sud que la normale et près de la pointe Barrow.

Avec la glace qui fondait à un rythme modéré, une route d'eau libre s'est ouverte de l'est du golfe d'Amundsen jusqu'à l'ouest du golfe Reine-Maud à la fin juillet. À ce moment, il restait de la vieille glace lâche sur l'est du golfe Reine-Maud. On trouvait aussi des zones d'eau libre sur le bassin Rasmussen, sur l'est du détroit de Larsen et le centre du détroit de Peel. Il y avait du pack très serré de vieille glace et de glace de première année du détroit de Victoria jusqu'à l'ouest du détroit de Larsen, alors que le reste du détroit de Peel était couvert de pack très serré de glace de première année. Avec les vents du sud qui se sont levés sur la mer de Beaufort, le reste de la glace dans l'ouest du golfe d'Amundsen a quitté le secteur durant les deux dernières semaines de juillet. Toutefois, la glace juste au large de la péninsule de Tuktoyaktuk a lentement gagné le large à ce moment, tandis que les zones d'eau libre ont continué de s'élargir. De très étroits chenaux d'eau libre ont persisté dans les baies et les inlets peu profondes le long de la côte de l'Alaska et à l'ouest de la pointe Barrow. Autrement, les concentrations de glace sont demeurées plus grandes que la normale sur la mer de Beaufort et au large de la côte de l'Alaska.

Les conditions glacielles et l'écart par rapport à la carte des concentrations normales de glace à la mi-juillet sont représentées aux Figure 23 et Figure 24 respectivement.

### **Août 2006**

Les températures ont été supérieures à la normale presque partout durant le mois d'août, mais elles étaient près de la normale le long de la côte de l'Alaska comme le montre le Tableau 3. Des vents légers et variables ont dominé sur tout l'ouest de l'Arctique au cours de la première moitié du mois. Des vents légers à modérés d'est ont soufflé sur la mer de Beaufort et le long de la côte de l'Alaska durant la deuxième moitié du mois, alors que les vents étaient légers à modérés du nord sur le centre de l'Arctique comme le montre la Figure 31. La glace a fondu à un rythme modéré à rapide sur l'ouest de l'Arctique au cours du mois.

À mesure que la glace fondait sur le passage du Nord-ouest, une route d'eau libre s'est ouverte jusqu'à Taloyoak durant la première semaine d'août. Presque toute la glace a complètement fondu le long de la route de navigation de l'est du détroit de Victoria jusqu'au détroit de Peel durant la troisième semaine d'août, soit 3 semaines plus tôt que la normale. À ce moment, une route d'eau libre s'est formée de la baie Mackenzie au cap Bathurst. Des cordons et des plaques de vieille glace persistait sur l'ouest du détroit de Victoria à la fin du mois. La glace sur la mer de Beaufort a continué de se retirer vers le nord au cours du mois d'août et elle se situait à environ 80 milles au nord de la péninsule de Tuktoyaktuk à la fin août. Toutefois, la progression de la glace vers le nord au large de la côte de l'Alaska a été beaucoup plus lente que sur la mer de Beaufort, car les concentrations de glace demeuraient plus grandes que la normale. Il restait une zone de banquise lâche à pack serré de vieille glace de l'île Barter jusqu'à la pointe Barrow. À l'ouest de la pointe Barrow, une zone de banquise très lâche de vieille glace est demeurée près des côtes durant tout le mois. La glace fondait aussi dans le pack de vieille glace sur l'océan Arctique durant le mois d'août.

Les conditions glacielles et l'écart par rapport à la carte des concentrations normales de glace à la mi-août sont représentées aux Figure 25 et Figure 26 respectivement.

### **Septembre 2006**

Les températures ont été supérieures à la normale sur tout l'ouest de l'Arctique durant le mois de septembre comme le montre le Tableau 3. Des vents légers et variables ont dominé sur la mer de Beaufort et le long de la côte de l'Alaska durant les deux premières semaines, alors que des vents modérés d'est ont soufflé sur le secteur durant la deuxième moitié du mois. Des vents légers à modérés du nord ont dominé sur le centre de l'Arctique durant le mois de septembre comme le montre la Figure 32. La glace a continué de fondre sur l'ouest de l'Arctique durant le mois de septembre.

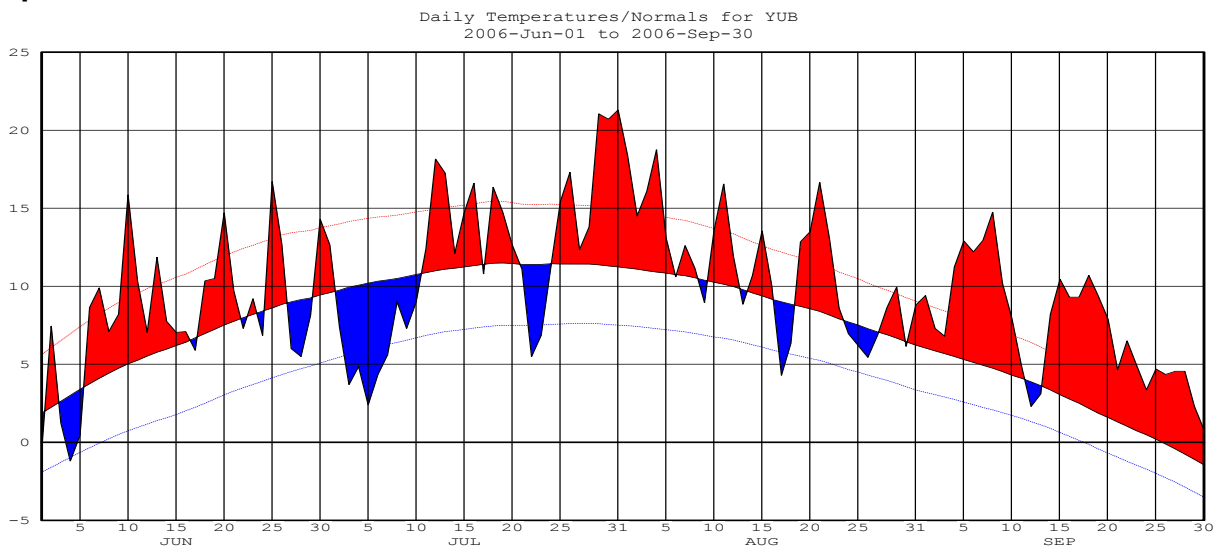
La mer de Beaufort et le passage du Nord-Ouest sont demeuré en eau libre de glace à libre pendant le mois, exception faite de plaques de vieille glace très lâche sur le côté ouest du détroit de Victoria. La côte de l'Alaska, à l'est de la baie Harrison était surtout en eau libre. Toutefois, une zone de vieille glace très lâche à lâche n'a jamais fondu complètement le long de la côte de l'Alaska, de l'île Barter à la pointe Barrow. Une voie de banquise lâche ou plus ouverte de la baie Mackenzie à la pointe Barrow s'est formée au cours de la première semaine de septembre, soit trois semaines plus tard qu'à l'habitude. Le pack de vieille glace sur la mer de Beaufort est demeuré de 80 à 90 milles au nord de la côte et est retourné à sa position normale à la fin du mois. L'englacement, dans l'ouest de l'Arctique, s'est produit à la fin septembre, soit une semaine plus tard qu'en temps normal.

Les conditions glacielles et l'écart par rapport à la carte des concentrations normales de glace à la mi-septembre apparaissent aux Figure 27 et Figure 28 respectivement.

**Tableau 3: Températures et écart par rapport à la normale (°C) pour l'ouest de l'Arctique**

| Stations      | Juin     |       | Juillet |       | Août  |       | Septembre |       |
|---------------|----------|-------|---------|-------|-------|-------|-----------|-------|
|               | Temp. p. | Écart | Temp.   | Écart | Temp. | Écart | Temp.     | Écart |
| Gjoa Haven    | 3.1      | 1.6   | 7.4     | -0.1  | 7.9   | 2.3   | 1.4       | 1.7   |
| Cambridge Bay | 5.4      | 3.2   | 9.3     | 1.2   | 9.8   | 3.6   | 1.8       | 2.4   |
| Kugluktuk     | 9.9      | 5.0   | 11.6    | 1.2   | 12.7  | 4.1   | 6.4       | 3.8   |
| Tuktoyaktuk   | 8.2      | 2.0   | 11.9    | 0.9   | 11.1  | 2.0   | 7.4       | 4.7   |
| Point Barrow  | 3.0      | 0.7   | 3.9     | -0.4  | 2.5   | -0.6  | 2.5       | 3.2   |

**Figure 19: Tendence de la température pour Tuktoyaktuk du 1<sup>er</sup> juin au 30 septembre**



**Figure 20: Tendence de la température pour Cambridge Bay du 1<sup>er</sup> juin au 30 septembre**

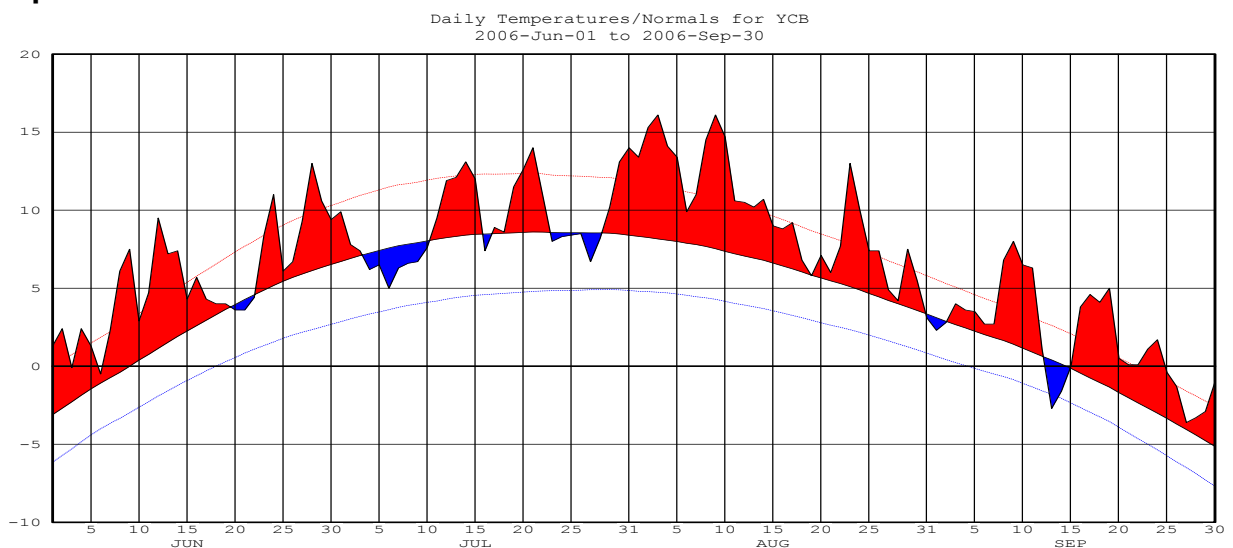


Figure 21: Carte régionale pour l'ouest de l'Arctique – 14 juin

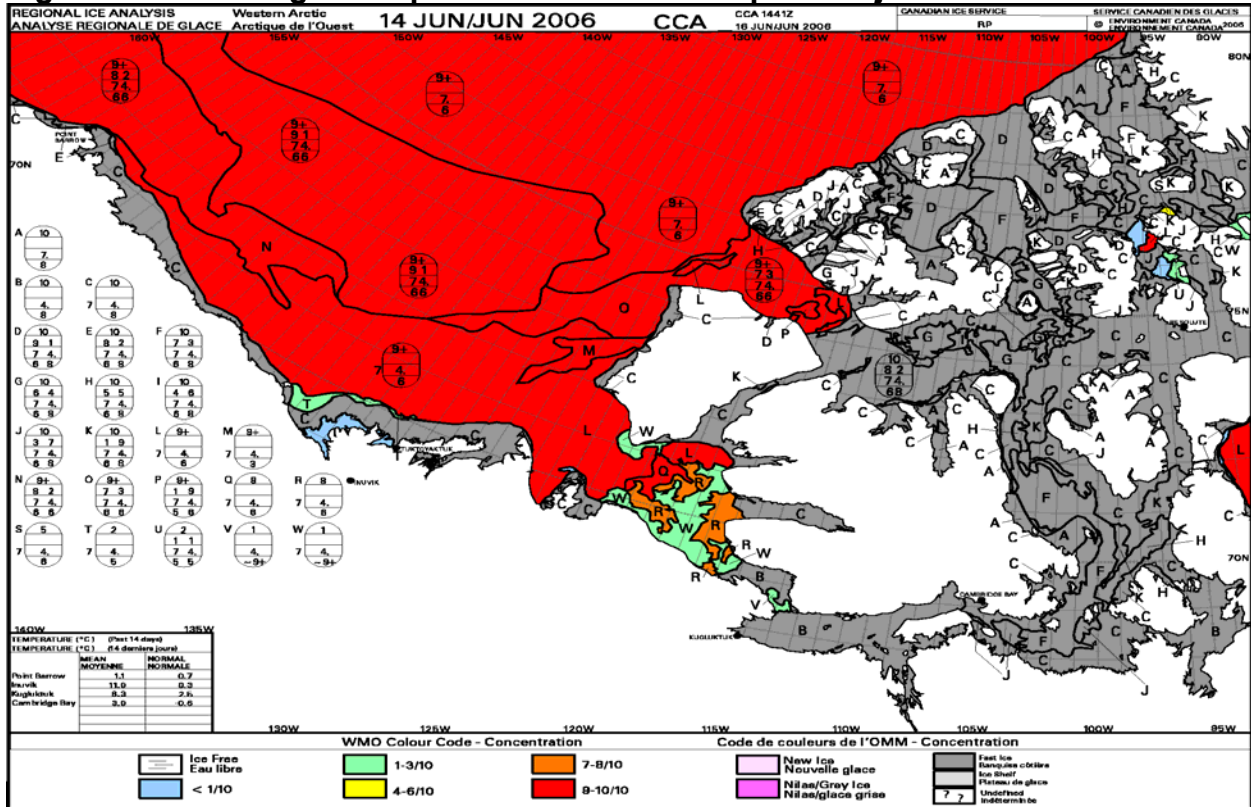


Figure 22: Écart de la concentration des glaces par rapport à la normale pour l'ouest de l'Arctique – 14 juin

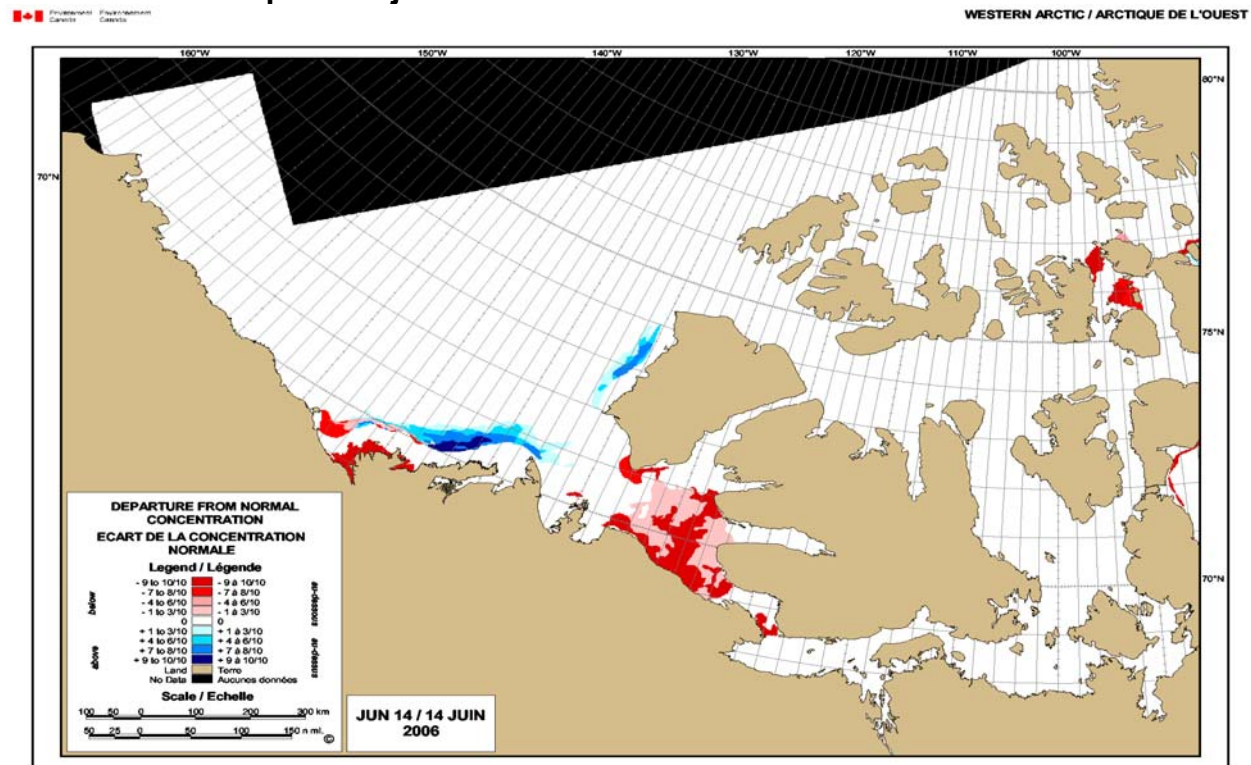


Figure 23: Carte régionale pour l'ouest de l'Arctique – 17 juillet

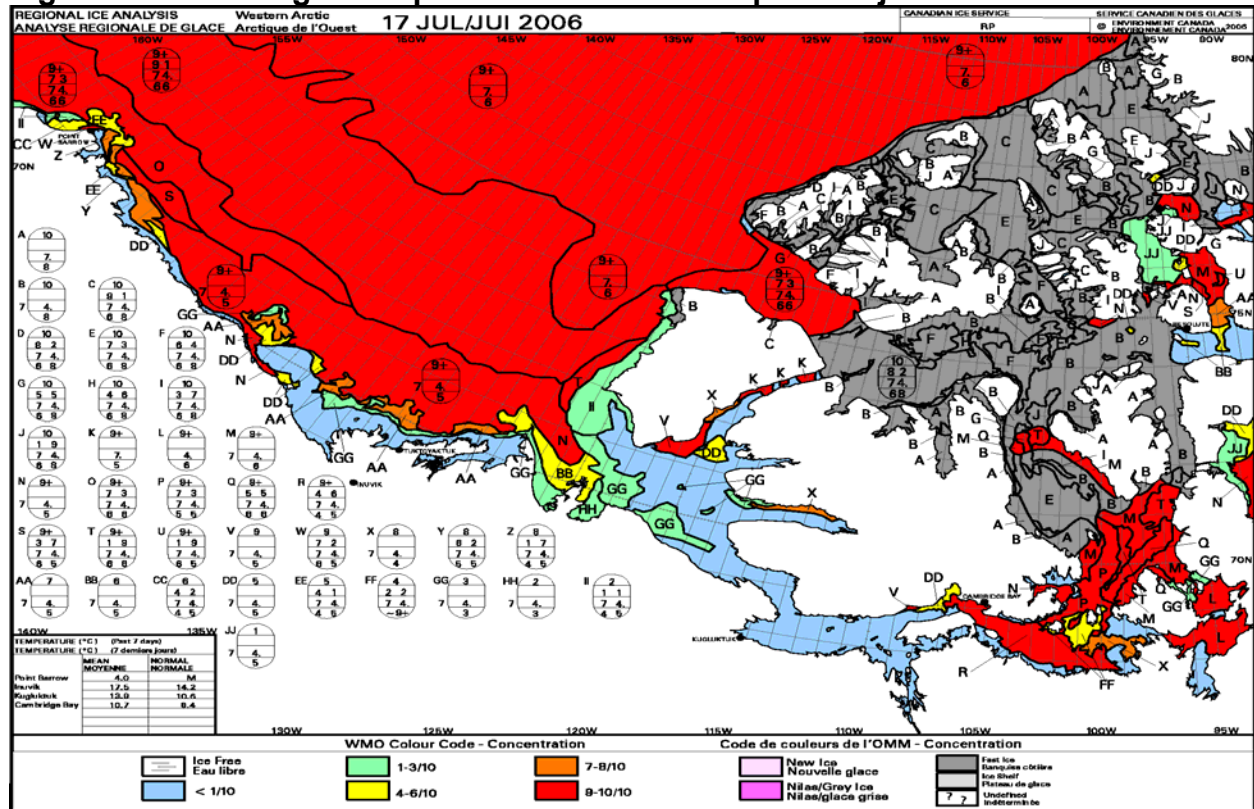


Figure 24: Écart de la concentration des glaces par rapport à la normale pour l'ouest de l'Arctique – 17 juillet

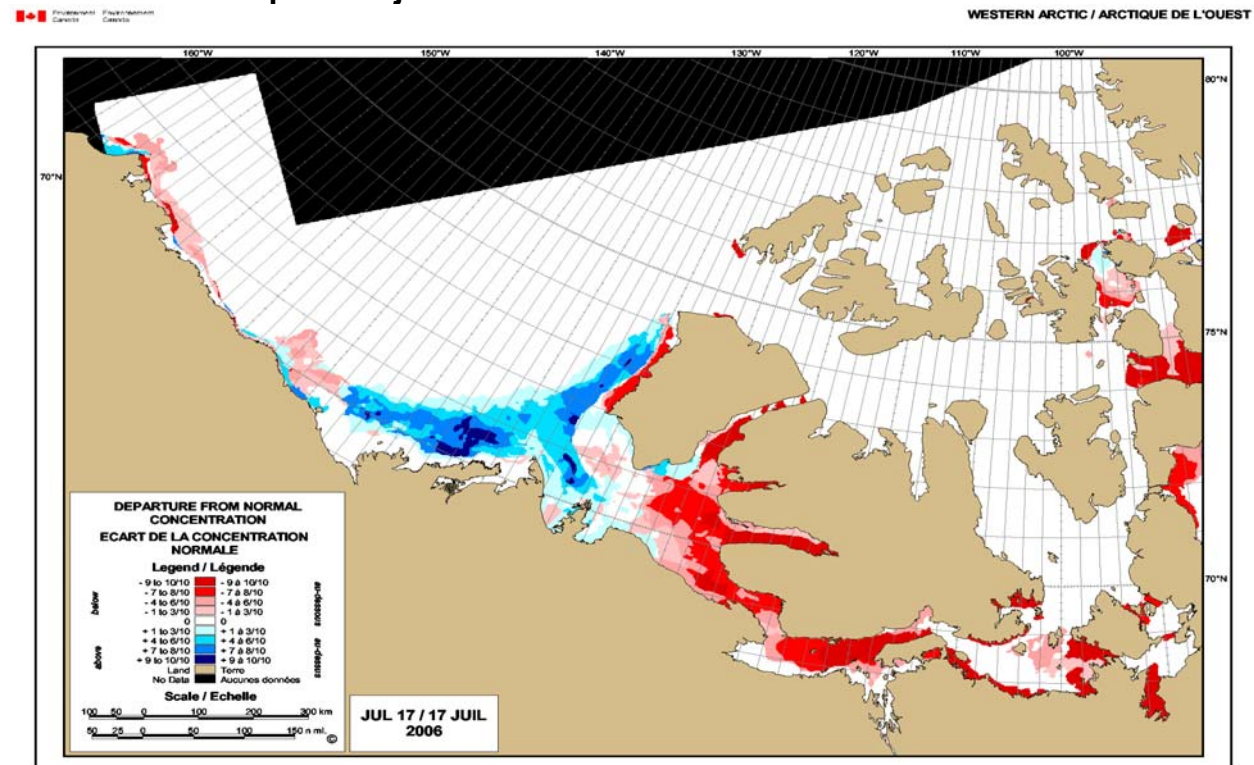




Figure 25: Carte régionale pour l'ouest de l'Arctique – 14 août

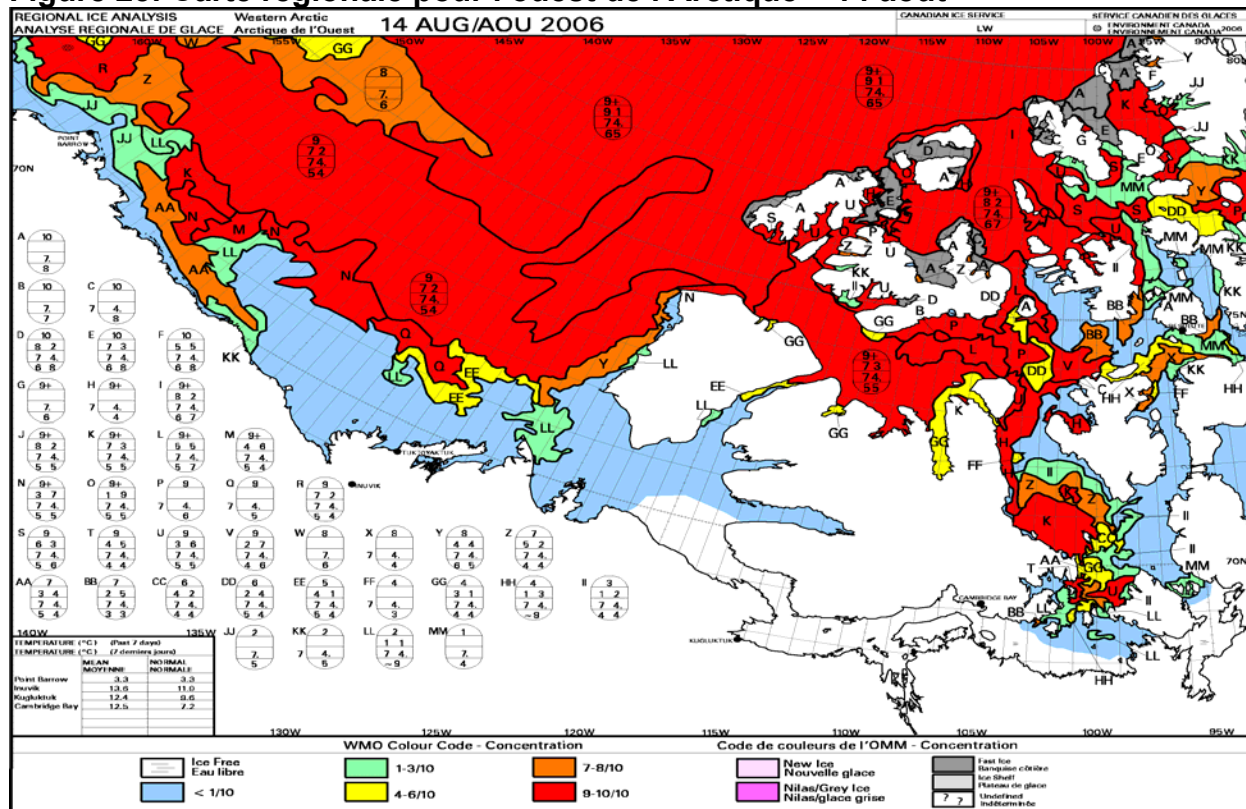


Figure 26: Écart de la concentration des glaces par rapport à la normale pour l'ouest de l'Arctique – 14 août

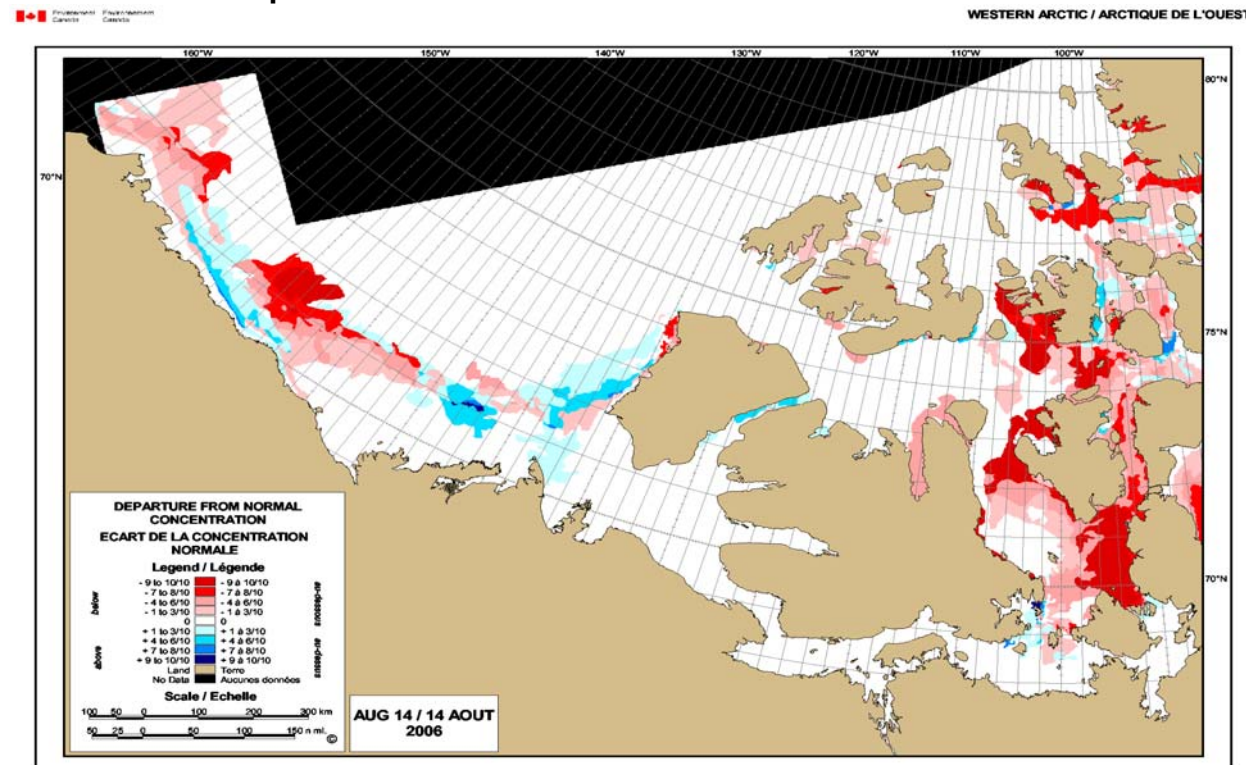


Figure 27: Carte régionale pour l'ouest de l'Arctique – 18 septembre

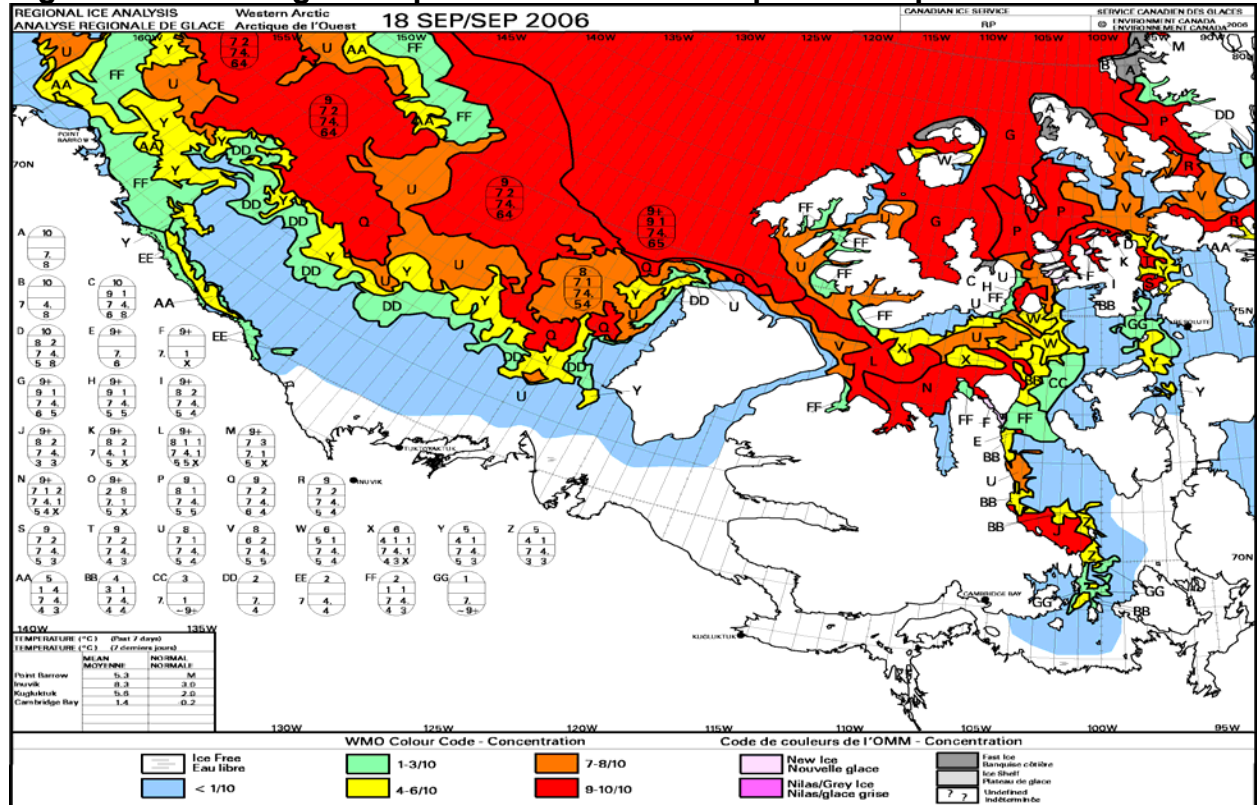


Figure 28: Écart de la concentration des glaces par rapport à la normale pour l'ouest de l'Arctique – 18 septembre

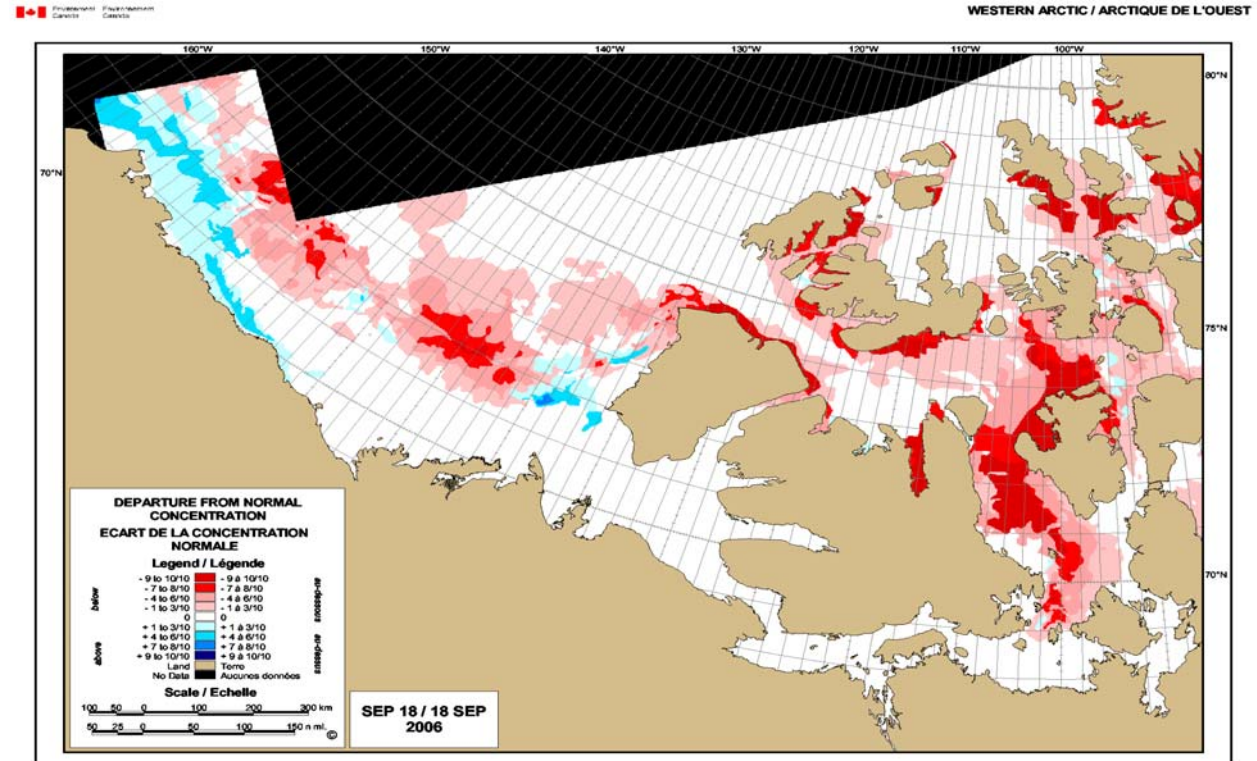


Figure 29: Cartes de 1000 mb du 1<sup>er</sup> au 15 juin et du 16 au 30 juin

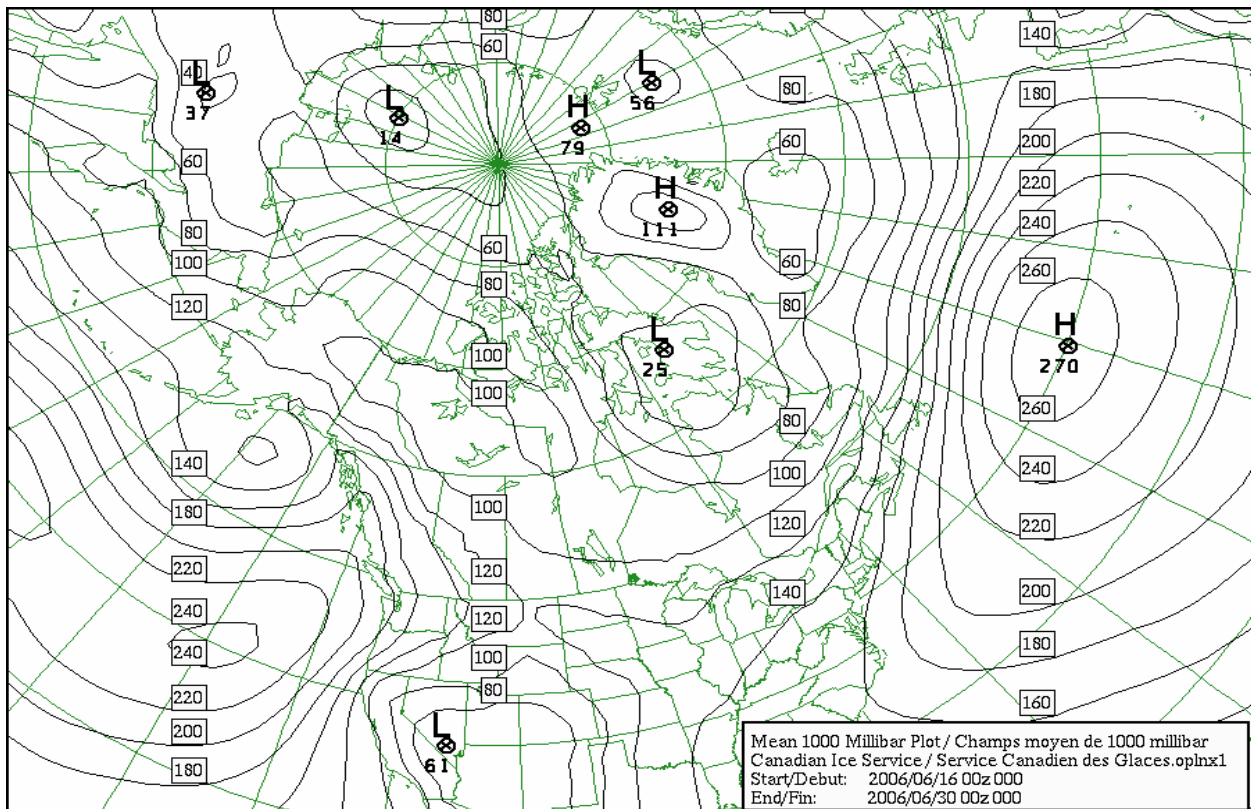
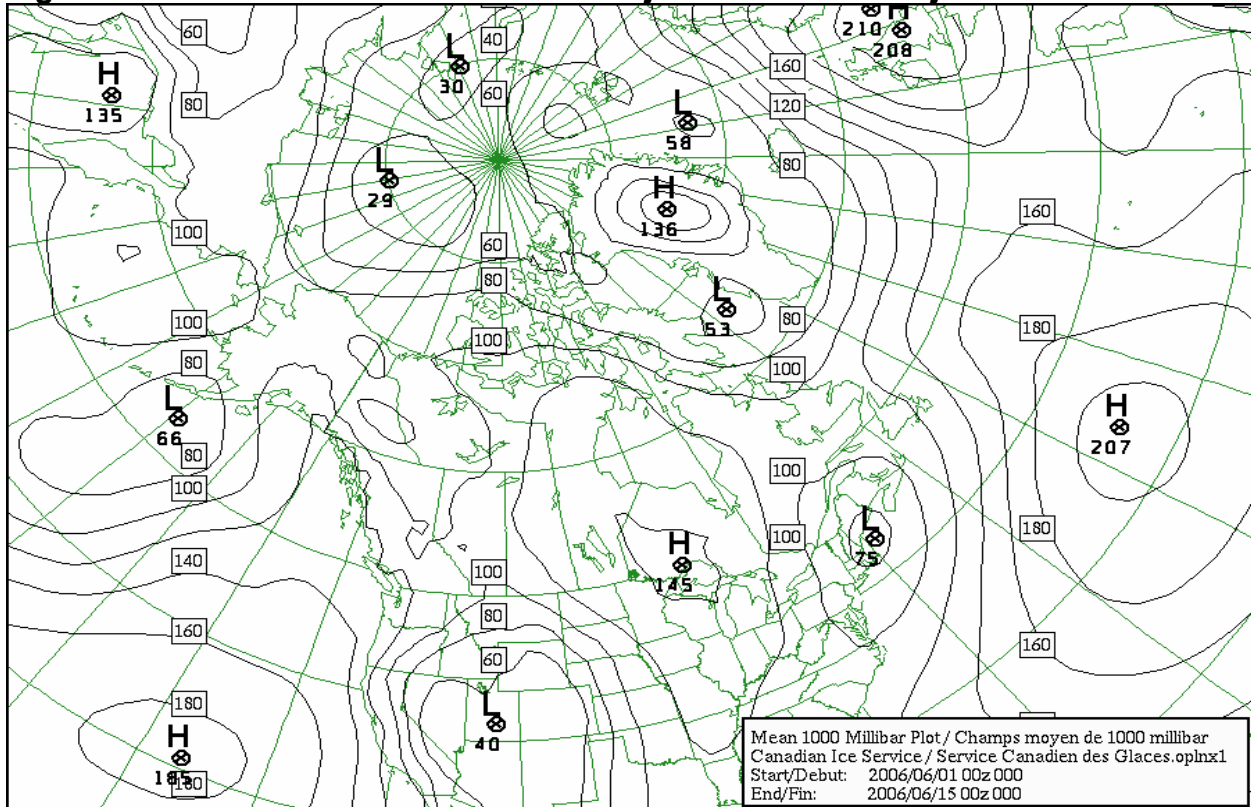


Figure 30: Cartes de 1000 mb du 1<sup>er</sup> au 15 juillet et du 16 au 31 juillet

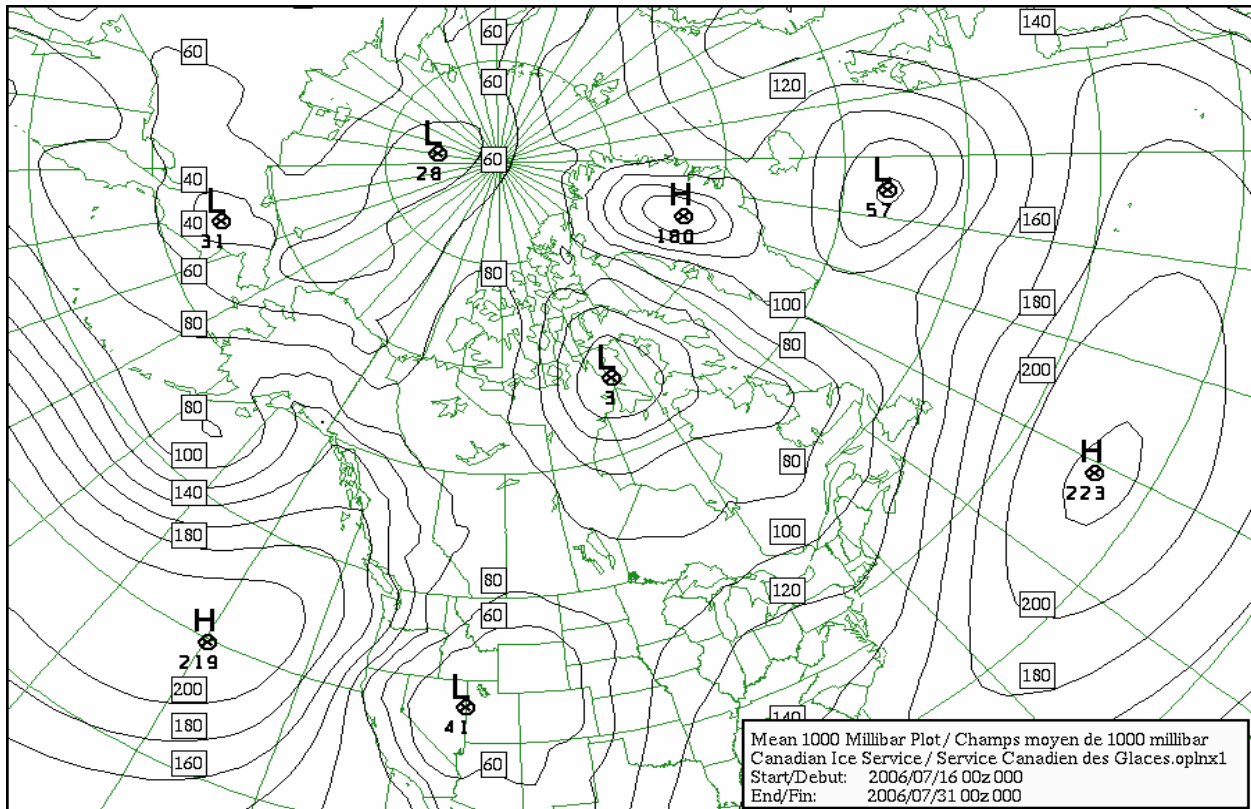
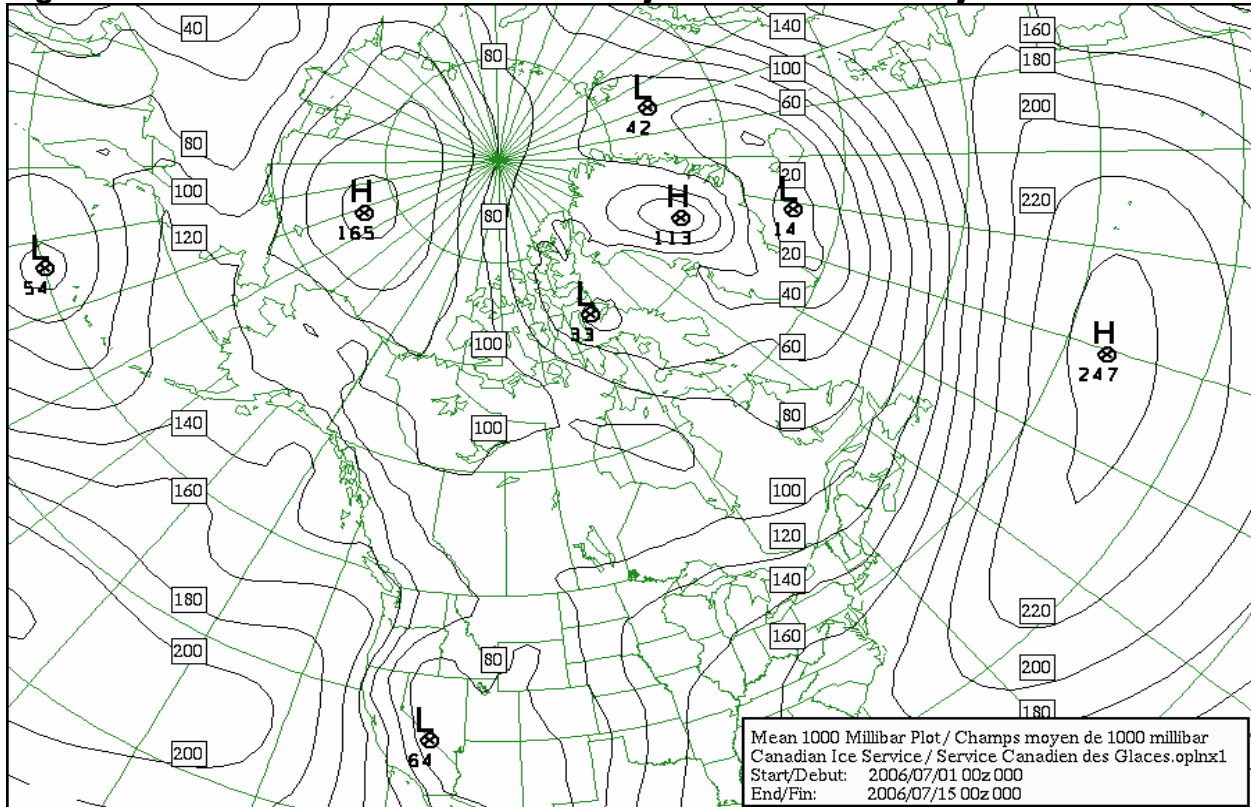


Figure 31: Cartes de 1000 mb du 1<sup>er</sup> au 15 août et du 16 au 31 août

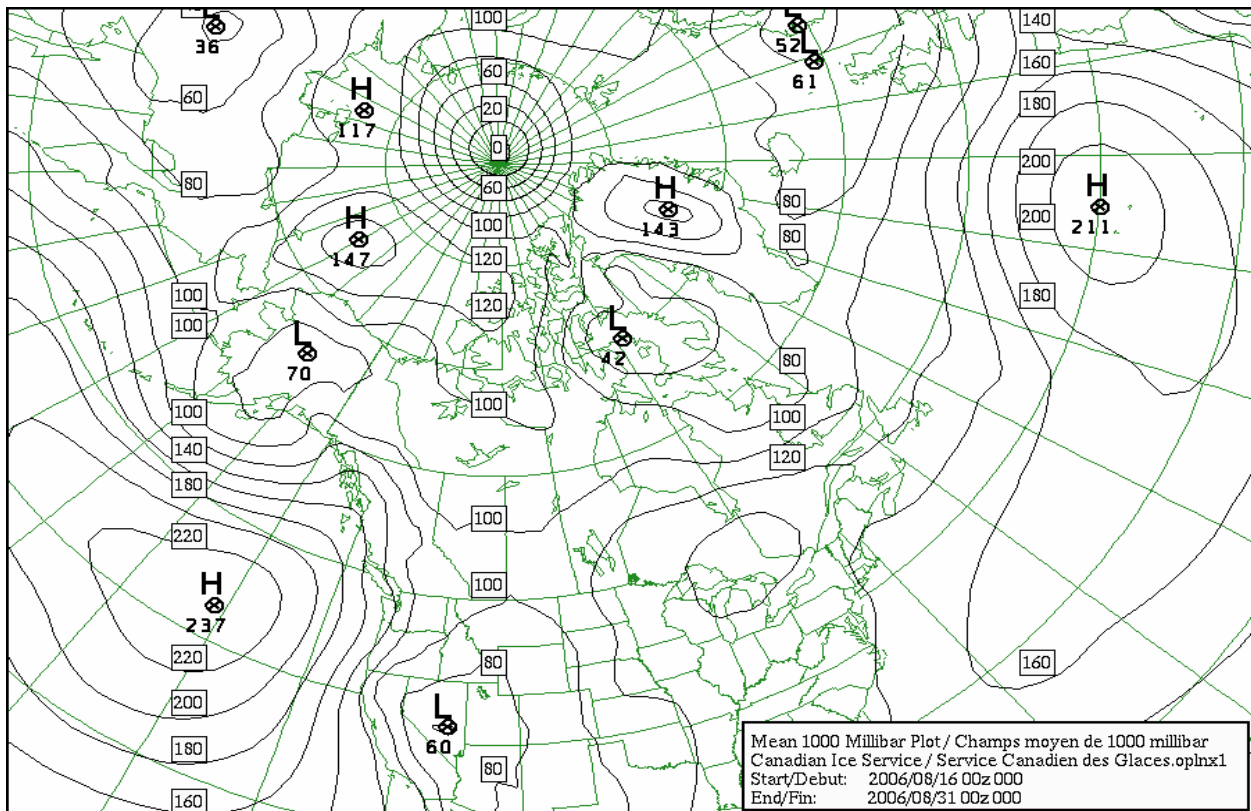
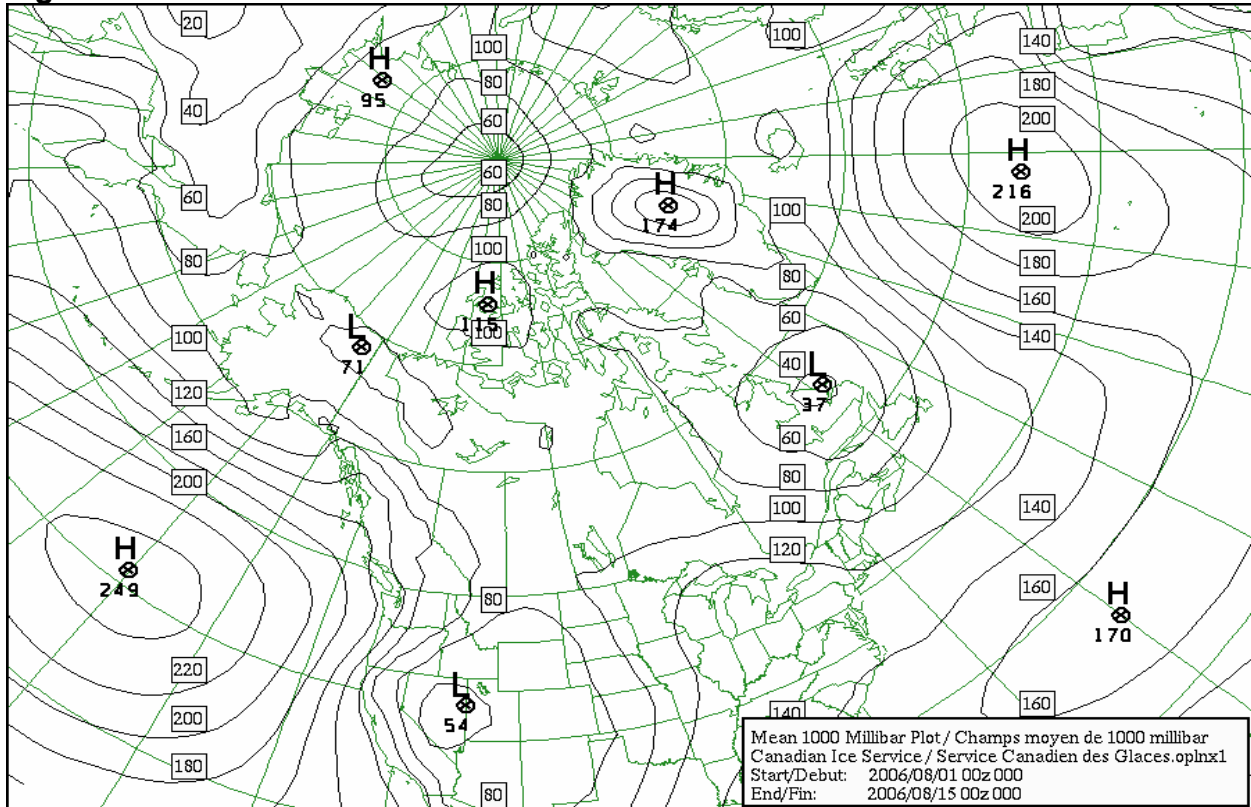


Figure 32: Cartes de 1000 mb du 1<sup>er</sup> au 15 septembre et du 16 au 30 septembre

